

کلیدزنی بهینه در مبدل شش فاز ماشین سنکرون آهنربای دائم به منظور کاهش اعوجاج هارمونیکی جریان با استفاده از روش کنترل پیش‌بین جریان اصلاح شده

پیمان میرزا‌یی‌پور، سید قدرت‌الله سیف‌السادات، محسن صنیعی و سید سعید‌الله مرتضوی

تجزیه فضای برداری^۱ (VSD) به دست می‌آید و مؤلفه‌های جریان که مسئول تولید شار/ گشتاور هستند، در زیرفضای $\alpha - \beta$ در مورد ماشین‌هایی با سیم‌بیچ‌های توزیع شده نگاشت می‌شوند. از سوی دیگر، مؤلفه‌های جریان که در زیرفضای $u - x$ نگاشت شده‌اند، به تولید شار/ گشتاور کمک نمی‌کنند و درجات آزادی بیشتری را نشان می‌دهند که می‌توانند برای عملکرد تحمل خطای مورد استفاده قرار گیرند [۳] و [۴]. راهبردهای مختلفی را می‌توان برای کنترل ماشین‌های شش فاز اتخاذ کرد. کنترل با جهت‌دهی میدان (FOC) یکی از این راهکارهای است که از کنترل کننده‌های تناسبی - انتگرالی برای تنظیم مؤلفه‌های جریان $d - q$ به دست آمده از چرخش متناظر $\beta - \alpha$ به منظور کنترل شار/ گشتاور استفاده می‌کند. علاوه بر این از کنترل کننده‌های تشید - تناسبی برای تنظیم مؤلفه‌های جریان $y' - x'$ به دست آمده از چرخش مؤلفه‌های $x - y$ متناسب استفاده می‌کند. این امر امکان به حداقل رساندن هارمونیک‌های جریان را به دلیل عدم تقارن ماشین، زمان مرده^۲ کلیدهای قدرت اینورترها و هارمونیک‌های نیروی ضدمحركه الکتریکی^۳ (Back-EMF) فراهم می‌کند. در مورد ماشین‌های شش فاز با پیکربندی یک نقطه خنثی (N) یکی از جریان‌های موجود در زیرفضای $z - z'$ نیز باید کنترل شود [۵]. ولتاژهای مرجع توسط کنترل کننده‌های جریان داده می‌شوند و سپس توسط یک مدولاتور با استفاده از راهکار مدولاسیون بهنای پالس مناسب ترکیب خواهند شد. کنترل مستقیم گشتاور (DTC) ماشین‌های شش فاز به طور مستقیم شار و گشتاور استاتور را با استفاده از کنترل کننده‌های هیسترزیس تنظیم می‌کند. از آنجا که استفاده از یک حالت کلیدزنی در طول یک دوره نمونه‌برداری هر دو مؤلفه ولتاژ $\beta - \alpha$ و $x - u$ را تولید نموده که منجر به افزایش هارمونیک‌های جریان می‌شود، استفاده از بردارهای مجازی در DTC در [۶] و [۷] برای ماشین‌های سه‌فاز دوگانه و در [۸] و [۹] برای ماشین‌های شش فاز پیشنهاد شده است. بردارهای مجازی با ترکیب دو بردار ولتاژ در طول یک دوره نمونه‌برداری ایجاد می‌شوند؛ با چنین زمان‌های کاربردی، مقدار متوسط مؤلفه‌های ولتاژ $u - x$ صفر است. در مورد ماشین‌های شش فاز، ۱۲ بردار مجازی بزرگ و ۱۲ بردار مجازی کوچک می‌توانند با ترکیب دو بردار ولتاژ با همان فاز در زیرفضای $\beta - \alpha$ ترکیب شوند [۱۰] و [۱۱]. با توجه به پیشرفت فناوری در زمینه کنترل دیجیتال در دهه‌های

چکیده: این مقاله یک روش کنترل پیش‌بین جریان (PCC) اصلاح شده مبتنی بر بردارهای ولتاژ مجازی (VV-PCC) بهینه با کنترل و تنظیم همزمان دو زیرفضا در مبدل شش فاز را برای ماشین‌های سنکرون مغناطیس دائم (PMSM) پیشنهاد می‌کند. این روش منجر به به حداقل نمودن اعوجاج هارمونیکی جریان در مقایسه با دیگر روش‌ها می‌شود. علاوه بر این، امکان کنترل عملکرد PMSM شش فاز با یک جریان نامتعادل بین دو مجموعه از سیم‌بیچ‌ها نیز فراهم می‌شود. نهایتاً روش PCC با زیرفضای دوگانه (BS-PCC) مبتنی بر بردارهای مجازی با دامنه بهینه اتخاذ می‌شود که با انتخاب الگوی کلیدزنی مناسب می‌تواند هم میزان هارمونیک‌های ناخواسته را کاهش دهد و هم پاسخ دینامیکی سریع و پاسخ گشتاوری قابل قبول را ارائه نماید. همچنین از آنجا که انتخاب حالت‌ها در PCC می‌تواند منجر به جریان‌های چرخشی هارمونیکی در سیم‌بیچ‌های ماشین شود، این مشکل را می‌توان با روش پیشنهادی با حداقل سازی ضربی وزنی رفع کرد که به تعداد تکرارهای کمی در کلیدزنی مبدل شش فاز نیاز دارد. اعتبار سنجی مقاله با استفاده از نرم‌افزار Matlab بر روی یک ماشین نمونه انجام شده است.

کلیدواژه: ماشین‌های سنکرون مغناطیس دائم (PMSM) شش فاز، کنترل پیش‌بین جریان (PCC) اصلاح شده، بردارهای ولتاژ مجازی، کلیدزنی بهینه، مینیمم‌سازی تابع هزینه.

۱- مقدمه

ساده‌ترین توپولوژی ماشین‌های چندفاز با فازهای $n = 3k$ در ماشین شش فاز $k = 2$ با جایه‌جایی الکتریکی ۳۰ درجه بین دو مجموعه از سیم‌بیچ‌ها (پیکربندی نامتقار) است. برای جلوگیری از گردش جریان‌های توالی صفر، دو مجموعه از سیم‌بیچ‌ها معمولاً با اتصال ستاره متصل می‌شوند و نقاط خنثی جدا می‌شوند (پیکربندی $2N$) [۱] و [۲]. مدل ماشین‌های شش فاز با پیکربندی $2N$ معمولاً با استفاده از تبدیل

این مقاله در تاریخ ۲۰ اردیبهشت ماه ۱۴۰۳ دریافت و در تاریخ ۱۰ دی ماه ۱۴۰۳ بازنگری شد.

پیمان میرزا‌یی‌پور (نویسنده مسئول)، گروه پژوهشی برق، دانشکده مهندسی، دانشگاه شهید چمران اهواز، اهواز، ایران، (email: pm.em33@gmail.com).

سید قدرت‌الله سیف‌السادات، گروه پژوهشی برق، دانشکده مهندسی، دانشگاه شهید چمران اهواز، اهواز، ایران، (email: seifosadat@yahoo.com).

محسن صنیعی، گروه پژوهشی برق، دانشکده مهندسی، دانشگاه شهید چمران اهواز، اهواز، ایران، (email: mohsen.saniei@gmail.com).

سید سعید‌الله مرتضوی، گروه پژوهشی برق، دانشکده مهندسی، دانشگاه شهید چمران اهواز، اهواز، ایران، (email: mortzavi_s@scu.ac.ir).

1. Vector Space Decomposition Transformation

2. Dead Time

3. Back Electromotive Force

دلیل امیدانس نشتی کوچک سیم پیج استاتور ماشین شش فاز به جریان های هارمونیک بزرگ در زیرفضای $y-x$ منجر خواهد شد [۱۶] و [۱۷]. بر اساس راهکار تجزیه فضای برداری (VSD)، مؤلفه های هارمونیک در زیرفضای هارمونیکی را می توان با روش های مختلف تنظیم کرد. گنجاندن جریان های هارمونیکی در زیرفضای $y-x$ همراه با متغیرهای موجود در زیرفضای $\alpha-\beta$ درتابع هزینه به عنوان محدودیت هایی برای تعیین بردارهای ولتاژ بهینه، یک جایگزین به حساب می آیدن. با این حال، گنجاندن متغیرها در دو زیرفضاء، تابع هزینه را پیچیده تر می کند. علاوه بر این، از آنجا که هر حالت کلیدزنی (کلیدزنی) می تواند بردارهای ولتاژ را در هر دو زیرفضای $\alpha-\beta$ و $y-x$ ایجاد کند، افزایش وزن مؤلفه های یک زیرفضا منجر به تنظیم ضعیف متغیرها در زیرفضای دیگر خواهد شد؛ بنابراین نمی توان در هر دو زیرفضا به طور همزمان در سطح رضایت بخشی به این الزام رسید [۱۸] و [۱۹].

همچنین باید اشاره کرد که روش کنترل با جهت دهنی میدان (FOC) نسبت به تغییرات L_m ، توانایی و مقاومت خوبی را از خود نشان می دهد؛ اما با تغییر کم L_m ، روش PCC بسیار ضعیف عمل می کند. در L_m جریان های مرتع در تابع هزینه استفاده می شوند که معادل با L_m تولید خواهد شد؛ بنابراین تغییرات L_m می تواند باعث به وجود آمدن یک مقدار مرجع غیر صحیح شود. FOC و PCC پایداری بسیار خوبی در تغییرات R_s خواهد داشت و دلیلش آن است که MPTC از مدل DTC از مدل ولتاژ برای پیش بینی تخمین شارهای استاتور استفاده می کند که برای پیاده سازی هر دو روش ضروری است. همچنین در سرعت های پایین، R_s اثر بیشتری روی مدل ولتاژ خواهد داشت که در سرعت های متوسط و بالا، MPTC و DTC پایداری و استقامت بیشتری از خود نشان خواهد داد [۲۰].

در یک روش کنترل گشتاور مدل پیش بین ^۶ (MPTC) مبتنی بر جدول جستجوی دومرحله ای، جریان های هارمونیکی به طور مؤثر از طریق انتخاب بردارهای ولتاژ مناسب در زیرفضای $y-x$ کاهش می یابند. این روش می تواند متغیرهای موجود در زیرفضای $y-x$ را از تابع هزینه حذف کند و جریان های هارمونیکی را کاهش دهد. با این حال، تابع هزینه نیز با ضربی وزنی دخیل در متعادل کردن همزمان کنترل گشتاور و شار استاتور، پیچیده می شود. جایگزین مؤثر دیگر برای حذف مؤلفه های هارمونیکی از تابع هزینه، استفاده از بردارهای مجازی است. با استفاده از این روش، تمام بردارهای پیش بینی می توانند جریان های هارمونیکی را حذف کنند؛ بنابراین نیازی به لحاظ نمودن مؤلفه های هارمونیکی در تابع هزینه نیست. متأسفانه زمانی که بردارهای مجازی اعمال می شوند، متوسط فرکانس کلیدزنی کلیدهای قدرت اینورتر به شدت افزایش می یابد؛ زیرا در هر دوره نمونه برداری، دو بردار فعل اعمال می شوند. در مجموع، جریان های هارمونیکی از طریق تضعیف ولتاژ های هارمونیکی در زیرفضای $y-x$ با استفاده از بردارهای ولتاژ مناسب کاهش می یابند.

به طور خلاصه، باید روشی برای کنترل مدل پیش بین، تابع هزینه یا با متغیرهایی در دو زیرفضای لحاظ شده (زیرفضای $\alpha-\beta$ و زیرفضای $y-x$) یا با دو متغیر با دامنه های مختلف (گشتاور و شار استاتور) تعریف کنیم. در این میان، تابع هزینه در ساختار ساده نمی تواند هارمونیک ها را در زیرفضای $y-x$ تنظیم کند و حتی فرکانس کلیدزنی را نیز قربانی خواهد کرد (متغیر نمودن فرکانس کلیدزنی) [۲۱]. بنابراین این مقاله، کنترل مدل پیش بین با یک تابع هزینه جدید در یک ساختار ساده که فقط شامل

گذشته، کنترل مدل پیش بین مجموعه کنترل محدود ^۱ (FCS-MPC) به یک جایگزین مناسب برای کنترل درایوهای الکتریکی تبدیل شده است. مزیت های اصلی FCS-MPC شامل بهبود عملکرد گذرای درایو، قابلیت ترکیب اهداف مختلف کنترل در تابع هزینه و سادگی گنجاندن غیر خطی بودن ها و محدودیت ها در الگوریتم کنترل است. چندین راهبرد FCS-MPC با اهداف کنترل مختلف در سال های گذشته برای ماشین های شش فاز پیشنهاد شده اند. کنترل جریان پیش بین ^۲ (PCC)، کنترل شار پیش بین ^۳ (PFC) و کنترل گشتاور پیش بین نمونه هایی از راهبردهای FCS-MPC هستند. استفاده از بردارهای مجازی در کنترل پیش بین جریان ^۴ (VPCC) برای اولین بار جهت کاهش بار محاسباتی الگوریتم کنترل، کاهش تعداد پیش بینی ها از ۴۹ به ۱۳ و برای کاهش دامنه مؤلفه های جریان $y-x$ پیشنهاد شده است [۱۲] و [۱۳]. کاربرد PFC با بردارهای مجازی نیز در ماشین های شش فاز گزارش شده است. علاوه بر این، یک راهبرد PCC نیز از بردارهای مجازی دامنه بهینه ^۵ (VPCC-OA) استفاده می کند که برای بهبود عملکرد حالت پایدار یک درایو PMSM شش فاز در سرعت های پایین پیشنهاد شده است. یک راهبرد VPCC که دو بردار مجازی را در طول یک دوره نمونه برداری ترکیب می کند نیز برای بهبود ردیابی جریان های مرجع $\alpha-\beta$ ارائه شده است [۱۴] و [۱۵].

تمام راهبردهای کنترل پیش بین مبتنی بر بردارهای مجازی موجود در مقالات، یک اشکال عمده دارند: آنها مستقیماً جریان های $y-x$ را کنترل نمی کنند. همچنین هارمونیک های جریان مرتبه پایین $y-x$ ناشی از عدم تقارن ماشین، اثرات زمان مرده سوئیچ های قدرت و هارمونیک های back EMF نمی توانند به درستی جبران شوند و به افزایش تلفات مسی استاتور در ماشین کمک می کند. برای غلبه بر این مشکلات، این مقاله یک راهبرد جدید PCC با دو زیرفضاء را بر اساس بردارهای مجازی دامنه بهینه (BS-VPCC) ارائه می دهد که قادر به تنظیم همزمان مؤلفه های جریان $y-q$ و $y'-x'$ در قاب مرجع روتور است. از آنجا که کنترل مؤلفه های جریان $y'-x'$ نیاز به استفاده از بردارهای ولتاژ غیر صفر $y-x$ در یک دوره نمونه برداری دارد، مفهوم بردارهای مجازی دو گانه در این مقاله معرفی شده است. بردارهای مجازی دو گانه از ترکیب دو بردار ولتاژ در طول یک دوره نمونه برداری با چنین زمانی از کاربردها به دست می آیند که تنها مؤلفه های ولتاژ $y-x$ متناظر غیر صفر هستند. راهبرد پیشنهادی شامل دو مرحله FCS-MPC است: یکی برای مقابله با کنترل مؤلفه های جریان $y-q$ و دیگری برای تنظیم جریان های $y-x$. از آنجا که بردارهای مجازی استاندارد تنها مؤلفه های ولتاژ $y-x$ غیر صفر دارند و در مقابله، بردارهای مجازی دو گانه تنها مؤلفه های ولتاژ غیر صفر $y-x$ دارند، کنترل هر دو مؤلفه جریان $y-q$ و $y'-x'$ مستقل هستند؛ بنابراین می توان دو مرحله کنترل را به صورت موازی اجرا نمود که نسبت به پژوهش های قبل، نوآوری محسوب می شود.

در ماشین شش فاز نامتقاضان، هارمونیک های مرتبه ششم مربوط به ضربان گشتاور به طور ذاتی حذف شده اند. با این وجود، موارد غیر خطی اینورتر، ولتاژ های هارمونیک پنجم و هفتم را عرضه خواهد کرد که به

1. Finite Control Set Model Predictive Control
2. Predictive Current Control
3. Predictive Flux Control
4. Virtual Vectors in PCC
5. Optimal Amplitude Virtual Vectors in PCC

زمان مرده اینورتر است. به دلیل اثر زمان مرده اینورتر، عملکرد ماشین با یک نقطه خنثی در مقایسه با پیکربندی با دو نقطه خنثی جداسده کاهش می‌یابد. جریان‌های توالی صفر نمی‌توانند در پیکربندی دو نقطه خنثی ایزوله جاری شوند و این منجر به THD جریان بهتری می‌شود. همچنین ولتاژ‌های مد مشترک، جریان‌های کوپلینگ را ایجاد می‌کنند که از طریق خازن‌های پارازیتی موتور به سمت آهن روتور جاری می‌شوند. این جریان‌ها از طریق یاتاقان‌های موتور به محفظه استاتور بازمی‌گردند و جریان‌هایی به اصطلاح یاتاقانی را تشکیل می‌دهند که باعث خرابی یاتاقان‌ها می‌شوند.

شرط لازم برای دستیابی به ولتاژ مد مشترک صفر این است که مجموع تمام ولتاژ‌های شش ساق اینورتر باید به طور لحظه‌ای برابر با صفر باشد. این محدودیت، اینورتر سه‌فاز دوگانه را مجبور می‌کند تا با سه کلید بالا و سه کلید پایین همیشه بسته کار کند. در نتیجه، تنها ۲۰ بردار ولتاژ از ۶۴ حالت کلیدزنی را می‌توان مورد استفاده قرار داد و ۴۴ بردار دیگر قابل استفاده نیستند. بنابراین حداقل ولتاژ اصلی قابل دستیابی را در مقایسه با روش‌های دیگر به مقدار کمتری محدود می‌کند و این مزیت را دارد که ولتاژ مد مشترک را حذف کند. ولتاژ مد مشترک را می‌توان با استفاده از روش SVPWM نیز حذف کرد. ۲۰ بردار ولتاژی که می‌توانند برای تولید ولتاژ مد مشترک صفر استفاده شوند، در ارتباط با بخش‌هایی با دهانه ۳۰ درجه یا ۶۰ درجه استفاده می‌شوند. بنابراین به منظور توقف جاری شدن جریان توالی صفر، استراتژی‌های مدولاسیون توسعه یافته تنها گروهی از حالت‌های کلیدزنی را در نظر می‌گیرند که ولتاژ مد مشترک صفر را تولید می‌کنند. سپس توالی کلیدزنی به گونه‌ای مرتب می‌شود که تلفات کلیدزنی به حداقل برسد [۲۲].

با در نظر گرفتن تبدیل VSD (۱) و ماتریس چرخش (۲)، مدل دینامیکی PMSM نامتناصرن شش فاز در قاب مرتع روتور توسط معادله زیر ارائه شده است

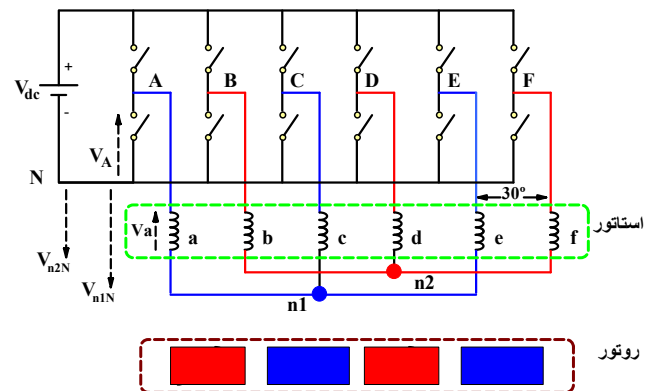
$$T_{VSD} = \frac{1}{3} \begin{bmatrix} 1 & -\frac{1}{2} & -\frac{1}{2} & \frac{\sqrt{3}}{2} & -\frac{\sqrt{3}}{2} & . \\ . & \frac{\sqrt{3}}{2} & -\frac{\sqrt{3}}{2} & \frac{1}{2} & \frac{1}{2} & -1 \\ . & \frac{1}{2} & \frac{1}{2} & \frac{1}{2} & \frac{1}{2} & -1 \\ 1 & -\frac{1}{2} & -\frac{1}{2} & -\frac{\sqrt{3}}{2} & \frac{\sqrt{3}}{2} & . \\ . & -\frac{\sqrt{3}}{2} & \frac{\sqrt{3}}{2} & \frac{1}{2} & \frac{1}{2} & -1 \\ . & \frac{1}{2} & \frac{1}{2} & \frac{1}{2} & \frac{1}{2} & -1 \end{bmatrix} \quad (1)$$

$$T_{rot} = \begin{bmatrix} \cos \theta & \sin \theta & . & . & . & . \\ -\sin \theta & \cos \theta & . & . & . & . \\ . & . & \cos \theta & -\sin \theta & . & . \\ . & . & \sin \theta & \cos \theta & . & . \\ . & . & . & . & 1 & 0 \\ . & . & . & . & 0 & 1 \end{bmatrix} \quad (2)$$

$$u_s = R_s i_s + L_s \frac{di_s}{dt} + \omega_r J L_s i_s + e_s \quad (3)$$

$$e_s = \omega_r J \psi_s \cdot PM + \frac{dJ \psi_s \cdot PM}{dt} \quad (4)$$

$$\psi_s = L_s i_s + \psi_s \cdot PM \quad (5)$$



شکل ۱: درایو الکتریکی مبتنی بر PMSM شش فاز نامتناصرن با پیکربندی دو نقطه خنثی مجزا ($2N$).

متغیرهایی در زیرفضای هارمونیکی است را ارائه می‌دهد. ابتدا یک بردار ولتاژ مرجع بر اساس روش کنترل پیش‌بین جریان اصلاح شده (VV-PCC) به دست می‌آید و سپس سه بردار ولتاژ بهینه هم‌فاز تزدیک به بردار ولتاژ مرجع به عنوان بردارهای پیش‌بین انتخاب می‌شوند. به این ترتیب، گشتاور و شار در زیرفضای $\beta - \alpha$ را می‌توان به خوبی تنظیم کرد.

در این بین، زمان محاسبه به میزان قابل توجهی کاهش می‌یابد. سپس یکتابع هزینه به شکل جدید تعریف می‌شود تا تابعی را انتخاب کند که بتواند کمترین جریان‌های هارمونیکی را به دست آورد. بنابراین با تمرکز بر کنترل پیش‌بین جریان اصلاح شده جهت کاهش تعداد حالات کلیدزنی، کاهش اعوجاج هارمونیکی جریان را با استفاده از بردارهای کلیدزنی چندگانه در طول بازه نمونه‌برداری انجام می‌دهیم که در نهایت انتظار داریم سبب کاهش اعوجاج هارمونیکی جریان^۱ و در نتیجه بهبود کیفیت توان شود.

کلیات این مقاله به صورت مدل ماشین PMSM شش فاز نامتناصرن با پیکربندی دو نقطه خنثی مجزا، روش PCC استاندارد، روش PCC مبتنی بر بردارهای مجازی، روش PCC مبتنی بر بردارهای مجازی با دامنه بهینه، روش PCC با زیرفضای دوگانه^۲ مبتنی بر بردارهای مجازی با دامنه بهینه (روش پیشنهادی) و نتایج شبیه‌سازی و نتیجه‌گیری، تحلیل و خلاصه می‌شوند.

۲- مدل سیستم

یک نمودار از درایو الکتریکی بر اساس PMSM شش فاز با سیم‌پیچ‌های نامتناصرن و نول‌های ایزوله^۳ در شکل ۱ نشان داده شده است. دلایل الزام به مجزانه‌بودن دو نقطه خنثی، صفرشدن مؤلفه‌های توالی صفر، مقایسه THD‌های ولتاژ فاز و جریان ماشین است.

قابل اثبات و مشاهده است که THD‌های ولتاژ فاز ماشین با یک نقطه خنثی منفرد و دو نقطه خنثی تقریباً یکسان هستند. از سوی دیگر، THD‌های جریان ماشین با یک نقطه خنثی به دلیل تحریک صفحه (x-y) و مؤلفه‌های توالی صفر در محورهای (-+0+) بیشتر از دو نقطه خنثی مجاز است.

پیکربندی یک نقطه خنثی اجازه می‌دهد تا هارمونیک سوم در هر مجموعه سیم‌پیچ سه‌فاز، جریان یابد. مؤلفه هارمونیک سوم عمدتاً به دلیل

1. Harmonic Current Distortion
2. Bi-Subspace PCC
3. Isolated Neutrals

۳- بودارهای فضایی و نحوه کلیدزنی

ولتاژ استاتور u_s در قاب مرجع روتور با استفاده از ولتاژ لینک DC (U_{dc}) و بردار حالت کلیدزنی s با استفاده از (۹) محاسبه می‌شود

$$u_s = U_{dc} \cdot T_{rot} \cdot T_{vsd} \cdot M \cdot s \quad (9)$$

که در رابطه بالا $s = [s_{a_1} \ s_{b_1} \ s_{c_1} \ s_{a_2} \ s_{b_2} \ s_{c_2}]^T$ و متغیر $s_x = \{0, 1\}, x \in \{a_1, b_1, c_1, a_2, b_2, c_2\}$ حالت کلیدزنی ساق x اینورتر منبع ولتاژ (VSI) است. وقتی $s_x = 1$ باشد، سوئیچ بالایی ساق x روشن و در غیر این صورت اگر $s_x = 0$ باشد، سوئیچ پایینی خاموش است. ماتریس M به صورت زیر تعریف می‌شود

$$M = \frac{1}{3} \begin{bmatrix} 2 & -1 & -1 & . & . & . \\ -1 & 2 & -1 & . & . & . \\ -1 & -1 & 2 & . & . & . \\ . & . & . & 2 & -1 & -1 \\ . & . & . & -1 & 2 & -1 \\ . & . & . & -1 & -1 & 2 \end{bmatrix} \quad (10)$$

$= 64^2$ حالت مختلف برای حالت کلیدزنی s وجود دارد که منجر به ۴۹ بردار ولتاژ متمایز می‌شود [۴۸] (فعال و یک صفر) [۲۳] و [۲۴]. این بودارهای ولتاژ در هر دو زیرفضای $\alpha-\beta$ و $x-y$ نگاشت شده‌اند که در شکل ۲ ارائه می‌شوند: V_L بردارهای بزرگ $644U_{dc}$ ، V_M بردارهای متوسط-بزرگ $477U_{dc}$ ، V_s بردارهای بزرگ $333U_{dc}$ و V_{ss} بردارهای کوچک $173U_{dc}$.

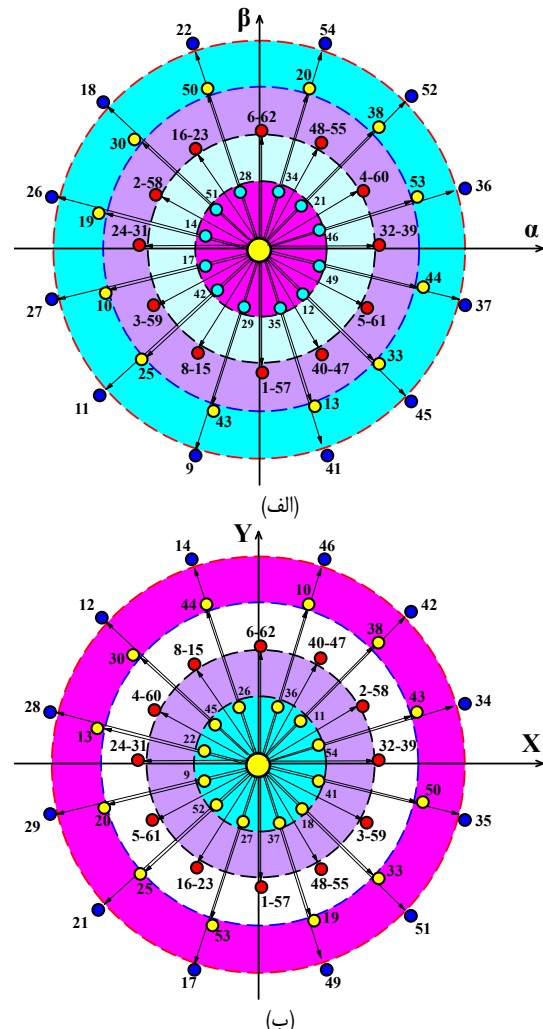
بردار شار پیوندی بی‌باری شامل هارمونیک‌ها در قاب مرجع خنثی به صورت زیر تعریف می‌شود

$$\psi_s^{abc} PM = \begin{bmatrix} \sum_h \psi_{s,PMh} \cos(h\omega_r t + \phi_h) \\ \sum_h \psi_{s,PMh} \cos(h(\omega_r - \frac{2\pi}{3})t + \phi_h) \\ \sum_h \psi_{s,PMh} \cos(h(\omega_r - \frac{4\pi}{3})t + \phi_h) \\ \sum_h \psi_{s,PMh} \cos(h(\omega_r - \frac{\pi}{6})t + \phi_h) \\ \sum_h \psi_{s,PMh} \cos(h(\omega_r - \frac{5\pi}{6})t + \phi_h) \\ \sum_h \psi_{s,PMh} \cos(h(\omega_r - \frac{9\pi}{6})t + \phi_h) \end{bmatrix} \quad (11)$$

که در آن $\psi_{s,PMh}$ هارمونیک مرتبه h شار پیوندی بی‌بار است. اگر تنها مؤلفه اصلی شار پیوندی بی‌باری در نظر گرفته شود، بردار e_s به صورت زیر کاهش می‌یابد

$$e_s = [\cdot \ \omega_r \psi_{s,PM_1} \ \cdot \ \cdot \ \cdot \ \cdot]^T \quad (12)$$

در PMSM‌های شش‌فاز، هارمونیک‌های شار پیوندی بی‌باری مرتبه h (به عنوان یک عدد فرد) هارمونیک‌های Back EMF از $6h \pm 1$ از آنجا که امپدانس معادل ماشین در این زیرفضا بسیار کمتر از زیرفضای back EMF ($L_{xy} \ll L_{dq}$) است، هارمونیک‌های کوچک $d-q$ می‌توانند به هارمونیک‌های جریان بزرگ منجر شوند. بنابراین مهم است که حداقل هارمونیک‌های پنجم و هفتم را همراه با مؤلفه اصلی شار پیوندی بی‌باری در بردار e_s در نظر بگیریم



شکل ۲: نگاشت بودارهای ولتاژ زیرفضای (الف) $\alpha-\beta$ و (ب) $x-y$ (در قاب مرجع ساکن).

که در آن θ موقعیت الکتریکی روتور، ω_r سرعت زاویه‌ای الکتریکی روتور، $R_s = r_s I_s$ ماتریس مقاومت که در آن R_s مقاومت استاتور است و I_s یک ماتریس همانی 6×6 می‌باشد. ماتریس اندوکتانس L_s به صورت زیر تعریف می‌شود

$$L_s = diag(L_{dd}, L_{dq}, L_{dy}, L_{xy}, L_{z1d}, L_{z1y}) \quad (6)$$

که در آن L_{dd} ، L_{dq} و L_{z1d} به ترتیب اندوکتانس‌های ماشین در زیرفضاهای $d-q$ و z_1 - y هستند. ماتریس J به صورت زیر تعریف می‌شود

$$J = \begin{bmatrix} \cdot & -1 & . & . & . & . \\ 1 & . & . & . & . & . \\ . & . & . & 1 & . & . \\ . & . & -1 & . & . & . \\ . & . & . & . & . & . \\ . & . & . & . & . & . \end{bmatrix} \quad (7)$$

متغیرهای ψ_s ، i_s ، e_s ، u_s و $\psi_{s,PM}$ به ترتیب ولتاژ استاتور، جریان استاتور، شار پیوندی Back-EMF و بردارهای شار پیوندی بی‌باری به شکل زیر هستند

$$f_s = [f_{ds} \ f_{qs} \ f_{xs} \ f_{ys} \ f_{z1s} \ f_{z1y}]^T \quad (8)$$

ضریب عدم تعادل به صورت زیر بیان می‌شود

$$K = -\frac{i_{ys'}}{i_{qs}} \quad (20)$$

که $K = 0$ برای عملکرد متعادل ماشین است. هنگامی که $K < 0$ است، توان اکتیو/گشتاور تولیدشده توسط مجموعه اول سیم‌پیچ‌ها بیشتر از توان تولیدشده توسط مجموعه دوم است و در غیر این صورت، زمانی است که $K > 0$ باشد.

۴- راهبرد کلاسیک PCC

FCS-MPC به یک مدل گستته از سیستم برای پیش‌بینی رفتار متغیرهای کنترل شده برای یک مجموعه محدود از اقدامات کنترلی وابسته است. اهداف کنترل در یکتابع هزینه بررسی می‌شوند که معمولاً خطای درجه دوم بین مقادیر مرجع و پیش‌بینی شده متغیرهای کنترل شده را ارزیابی می‌کند. در هر لحظه نمونه‌برداری، متغیرهای کنترل شده برای یکتابع هزینه نمونه‌برداری آینده، اندازه‌گیری و پیش‌بینی می‌شوند و تابع هزینه برای تمام عملکرد کنترلی ممکن ارزیابی می‌شود. واقعیتی که حداقل هزینه را فراهم می‌کند موردی است که باید در ابتدای لحظه نمونه‌برداری بعدی اعمال شود.

در مورد خاص PCC برای PMSM‌های شش فاز، تابع هزینه خطای درجه دو بین مرجع و مؤلفه‌های جریان پیش‌بینی شده برای یک مجموعه معین از بردارهای ولتاژ یا بردارهای مجازی را ارزیابی می‌کند [۲۵] و [۲۶]. برای محاسبه جریان‌های پیش‌بینی شده در قاب مرجع روتور، روش اویلر پیشرو^۳ برای گستته‌سازی (۳) مورد استفاده قرار می‌گیرد؛ در نتیجه به دست می‌آید

$$\begin{aligned} i_s(k+h) &= [I_s - T_s R_s L_s^{-1} - \omega_r T_s J] i_s(k+h-1) + \\ &T_s L_s^{-1} [-e_s(k+h-1) + u_s(k+h-1)] \end{aligned} \quad (21)$$

که در آن T_s دوره نمونه‌برداری و h افق پیش‌بینی است. برای جبران تأخیر اجرای الگوریتم‌های کنترل پیش‌بین، انتخاب افق پیش‌بینی دو نمونه معمول است ($h=2$) که این نیز در این مقاله پذیرفته شده است.

۵- روش PCC استاندارد

نمودار راهبرد PCC استاندارد برای ماشین‌های شش فاز در شکل ۳ آمده است. الگوریتم کنترل توسط θ ، $i_s(k)$ و U_{dc} اندازه‌گیری می‌شود و سپس $(k+2)$ با (۲۱) برای بردار ولتاژ متمایز (۴۸) بردار فال و ۱ بردار (صرف) پیش‌بینی می‌شوند.

تابع هزینه برای این راهبرد کنترل به صورت زیر تعریف می‌شود

$$g = (i_{ds}^* - i_{ds}(k+2))^2 + (i_{qs}^* - i_{qs}(k+2))^2 + \lambda_{xy} [(i_{xs'}^* - i_{xs'}(k+2))^2 + (i_{ys'}^* - i_{ys'}(k+2))^2] \quad (22)$$

که در آن $\{i_{ds}^*, i_{qs}^*, i_{xs'}^*, i_{ys'}^*\}$ مقادیر مرجع جریان در زیرفضاهای $x'-y'$ و $y'-z'$ هستند و λ_{xy} یک ضریب وزنی است که اهمیت نسبی ردیابی جریان مرجع در زیرفضای $x'-y'$ را بروی زیرفضای $d-q$ تنظیم می‌کند. همچنین معیار انتخاب ضریب وزنی، رفع عدم تقارن در تابع هزینه فوق می‌باشد که تنظیم آنلاین بهینه ضریب‌های وزن‌دهی می‌تواند استحکام بهتری در برابر عدم قطعیت‌های پارامتر ارائه دهد. در اینجا

$$e_s = \begin{bmatrix} \cdot \\ \cdot \\ \cdot \\ \omega_r \psi_s PM_s \\ -5\omega_r \psi_{s,PM_1} \sin(\varepsilon\theta + \phi_d) - 7\omega_r \psi_{s,PM_y} \sin(\varepsilon\theta + \phi_y) \\ 5\omega_r \psi_{s,PM_1} \sin(\varepsilon\theta + \phi_d) - 7\omega_r \psi_{s,PM_y} \sin(\varepsilon\theta + \phi_y) \\ \cdot \\ \cdot \end{bmatrix} \quad (13)$$

توان اکتیو در ماشین‌های شش فاز با استفاده از رابطه زیر محاسبه می‌شود

$$\begin{aligned} p_s &= (u_s^{abc})^T i_s^{abc} = (T^{-1} u_s)^T (T^{-1} i_s) = \\ &3(u_{ds} i_{ds} + u_{qs} i_{qs} + u_{xs} i_{xs} + u_{ys} i_{ys}) \end{aligned} \quad (14)$$

که در آن $T = T_{rot} T_{vsd}$ با در نظر گرفتن (۳) در شرایط حالت پایدار و جایگزینی آن در (۱۴) به دست می‌آید

$$\begin{aligned} p_s &= p_{s,cu} + p_{s,ag} = 3R_s (i_{ds}^r + i_{qs}^r + i_{xs}^r + i_{ys}^r) + \\ &3(e_{ds} i_{ds} + e_{qs} i_{qs} + e_{xs} i_{xs} + e_{ys} i_{ys}) \end{aligned} \quad (15)$$

عبارت اول در (۱۵) تلفات مسی استاتور را نشان می‌دهد و عبارت دوم مربوط به توان فاصله هوایی است که مسئولیت تولید گشتاور الکترومغناطیسی t_e را بر عهده دارد. عبارت t_e از $p_{s,ag}$ گرفته می‌شود

$$t_e = \frac{pp_{s,ag}}{\omega_r} \quad (16)$$

که در آن p تعداد جفت‌های قطب است. از آنجا که افزایش t_e با تزریق هارمونیک‌های جریان در زیرفضای $y'-x'$ خارج از محدوده این مقاله است، $i_{ds} = 0$ برای گشتاور بیشینه در هر آمپر^۱ (MTPA) در نظر گرفته می‌شود؛ سرانجام t_e به صورت زیر حاصل می‌شود

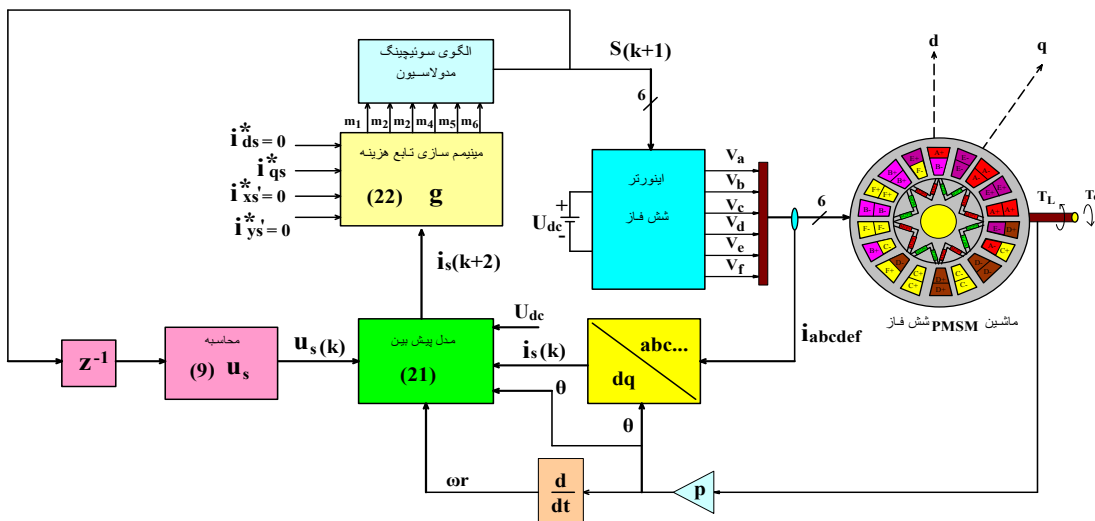
$$t_e = 3p \psi_{s,PM} i_{qs} \quad (17)$$

معادله (۱۷) نشان می‌دهد که تنها جریان i_{qs} به تولید گشتاور کمک می‌کند. اگرچه ماشین‌های شش فاز معمولاً در شرایط متعادل عمل می‌کنند، اما سهم هر دو مجموعه از سیم‌پیچ‌ها در تولید گشتاور برابر است. از آنجا که مؤلفه‌های جریان به دست آمده با استفاده از تبدیل $d-q$ دوگانه به طور مستقیم به مجموعه از سیم‌پیچ‌ها مربوط می‌شوند، معمولاً یک ضریب عدم تعادل (ضریب نامتعادل) به صورت زیر تعریف می‌شود

$$K = \frac{i_{qs1} - i_{qs2}}{i_{qs1} + i_{qs2}} \quad (18)$$

که در آن جریان‌های i_{qs1} و i_{qs2} به ترتیب جریان‌های مسئول تولید گشتاور/تون مجموعه اول و دوم سیم‌پیچ‌ها هستند. با در نظر گرفتن رابطه بین جریان‌های به دست آمده با استفاده از تبدیل $d-q$ دوگانه و جریان‌های به دست آمده با استفاده از تبدیل VSD داریم

$$\begin{cases} i_{ds} = \frac{i_{ds1} + i_{ds2}}{2} \\ i_{qs} = \frac{i_{qs1} + i_{qs2}}{2} \\ i_{xs'} = \frac{i_{ds1} - i_{ds2}}{2} \\ i_{ys'} = \frac{-(i_{qs1} - i_{qs2})}{2} \end{cases} \quad (19)$$



شکل ۳: دیاگرام روش PCC استاندارد.

مجازی^۱ در کنترل پیش‌بین ماشین‌های شش‌فاز در [۲۷] و [۲۸] پیشنهاد شده است. بردار مجازی با ترکیب یک بردار ولتاژ متوسط-بزرگ و یک بردار ولتاژ بزرگ با فاز مشابه در زیرفضای $\alpha - \beta$ ($\alpha - \beta$ را ببینید). با زمان‌های کاربرد به دست می‌آید

$$t_L = \frac{T_s}{\cos \frac{5\pi}{12}} \approx 0.732 T_s$$

$$t_{ML} = T_s - t_L$$

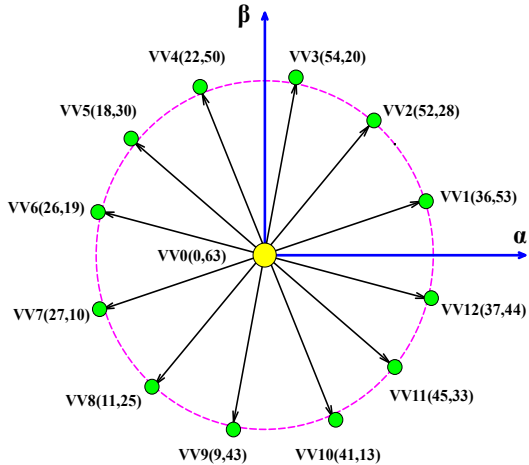
$$(24)$$

در مجموع ۱۲ بردار مجازی مجزا ($v_{vi}, i \in \{1, \dots, 12\}$) با دامنه $U_{dc} \times 59.8^\circ$ در زیرفضای $\alpha - \beta$ به دست می‌آیند (شکل ۴) از آنجا که بردارهای مجازی دارای مؤلفه‌های ولتاژ صفر $x - y$ در طول یک دوره نمونه‌برداری هستند،تابع هزینه راهبرد VPCC به سادگی توسط رابطه زیر داده می‌شود

$$g_{dq} = (i_{ds}^* - i_{ds}(k+2))^2 + (i_{qs}^* - i_{qs}(k+2))^2 \quad (25)$$

که برای ۱۳ بردار مجازی (۱۲ بردار فعال و ۱ بردار صفر) ارزیابی می‌شود. بردار مجازی بهینه v_v^{opt} که (۲۵) را به حداقل می‌رساند در طول دوره نمونه‌برداری بعدی به ماشین اعمال می‌شود. با محاسباتی راهبرد VPCC در مقایسه با PCC استاندارد کمتر است و تنظیم شار و گشتاور بهبود می‌یابد؛ زیرا تنها خطاهای ریدیابی جریان مرجع $d - q$ در تابع هزینه در نظر گرفته می‌شوند. نمودار راهبرد VPCC در شکل ۵ آمده است. برای تسهیل اجرای این راهبرد در پلتفرم‌های کنترل دیجیتال، الگوهای کلیدزنی مورد استفاده برای تولید بردارهای مجازی در میانه دوره نمونه‌برداری همان طور که در [۲۹] و [۳۰] پیشنهاد شده، متمن کر شده‌اند. مثلاً الگوی کلیدزنی مورد استفاده برای ترکیب $v_v^{opt} = v_{v1}^{opt} = v_{v11}^{opt}$ قبل و بعد از متمن کر شدن در میانه دوره نمونه‌برداری در شکل ۶ نشان داده شده است.

۷- روش PCC مبتنی بر بردارهای مجازی با دامنه بهینه
استفاده از بردارهای مجازی با دامنه بهینه برای بهبود عملکرد حالت پایدار یک درایو PMSM شش‌فاز پیشنهاد شده است.

شکل ۴: بردارهای مجازی در زیرفضای $\alpha - \beta$ (در قاب مرتع ساکن).

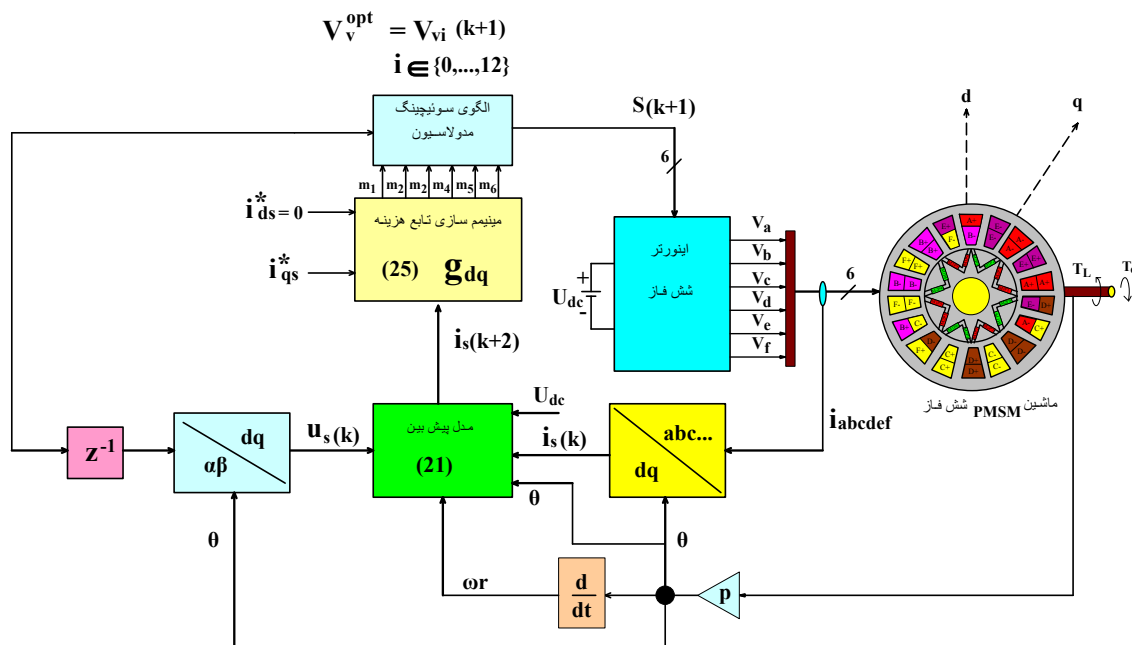
اولویت، کنترل جریان پیش‌بینی شده از جمله کاهش خطای ریدیابی و اعوجاج هارمونیکی کل (THD) جریان است. مقدار i_{ds}^* برای شرایط MTPA صفر است و i_{qs}^* گشتاور الکترومغناطیسی PMSM شش‌فاز را مطابق با آن تنظیم می‌کند

$$i_{qs}^* = \frac{t_e^*}{3 p \gamma_{s,PM}} \quad (23)$$

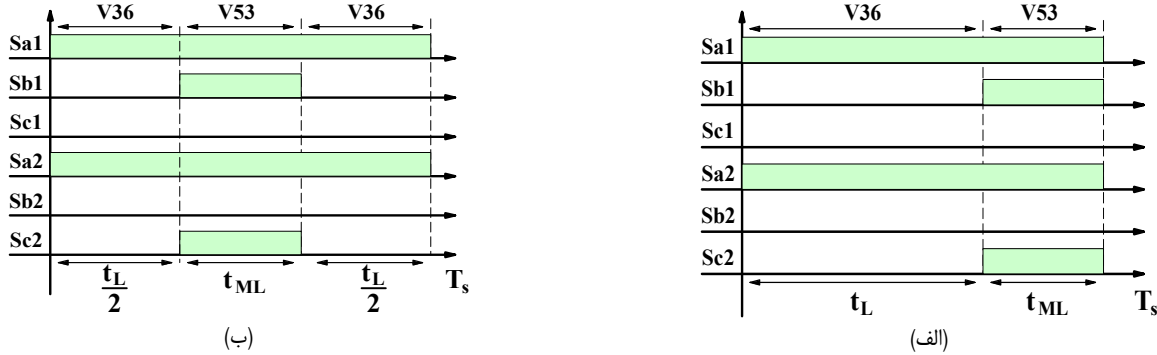
که در آن t_e^* مقدار گشتاور مرجع است. از آنجا که i_{xs}^* و i_{ys}^* به تولید شار یا گشتاور در ماشین‌های با سیم‌پیچ‌های توزیع شده کمک نمی‌کنند، i_{xs}^* و i_{ys}^* به منظور کاهش اعوجاج هارمونیکی جریان و تعادل هر دو مجموعه سیم‌پیچ‌ها روی صفر تنظیم می‌شوند. پس از ارزیابی (۲۲) برای ۴۹ بردار ولتاژ مختلف، الگوریتم استاندارد PCC بردار ولتاژی را انتخاب می‌کند که تابع هزینه را به حداقل می‌رساند و آن را در طول دوره نمونه‌برداری بعدی اعمال می‌کند. اگرچه $x - y$ می‌تواند برای بهبود تنظیم شار و گشتاور به مقدار بسیار کمی تنظیم شود، اما دستیابی به یک ریدیابی جریان مرجع بهینه در هر دو زیرفضاهای $d - q$ و $x' - y'$ دشوار است؛ زیرا هر بردار ولتاژ به طور همزمان در هر دو زیرفضا نگاشت شده است.

۶- روش PCC مبتنی بر بردارهای مجازی

برای غلبه بر محدودیت‌های PCC استاندارد، استفاده از بردارهای ولتاژ



شکل ۵: دیاگرام روش VPCC.

شکل ۶: الگوی کلیدزنی مورد استفاده برای ترکیب v_v^{opt} قبل از متumerکردن و (ب) بعد از متumerکردن.

$m \in \{d, q\}$ با $e_{m,.} = i_{ms}^* - i_{ms}(k+2)$ و $e_{m,.} = i_{ms}^* - i_{ms}(k+2)$ با اعمال محدودیت به $d'_{\alpha\beta}$ برای اطمینان از $[0, 1] \in d'_{\alpha\beta}$ به دست می‌آید

$$\begin{cases} d'_{\alpha\beta} = 0 & , d_{\alpha\beta} < 0 \\ d'_{\alpha\beta} = d_{\alpha\beta} & , 0 \leq d_{\alpha\beta} \leq 1 \\ d'_{\alpha\beta} = 1 & , 1 < d_{\alpha\beta} \end{cases} \quad (29)$$

بردار مجازی v_v^{opt} در لحظه نمونه‌برداری بعدی با یک چرخه کار بهینه $d'_{\alpha\beta}$ همراه با دو بردار صفر (v_{v1} و v_{v2}) اعمال می‌شود. نمودار راهبرد VPCC-OA در شکل ۷ نشان داده شده است. به عنوان مثال، الگوی کلیدزنی برای ترکیب v_v^{opt} با $d'_{\alpha\beta}$ قبل و بعد از عملکرد متumerکرزاژی با زمان‌های کاربرد در شکل ۸ نشان داده شده است

$$\begin{cases} t_{a.} = T_s(1 - d'_{\alpha\beta}) \\ t_{a1} = t_L d'_{\alpha\beta} \\ t_{a2} = t_{ML} d'_{\alpha\beta} \end{cases} \quad (30)$$

الگوی کلیدزنی شکل ۸-ب نسبت به میانه دوره نمونه‌برداری متقاض است و منجر به فرکانس کلیدزنی ثابت کلیدهای قدرت می‌شود؛ به شرطی که $d'_{\alpha\beta} < 1$ باشد.

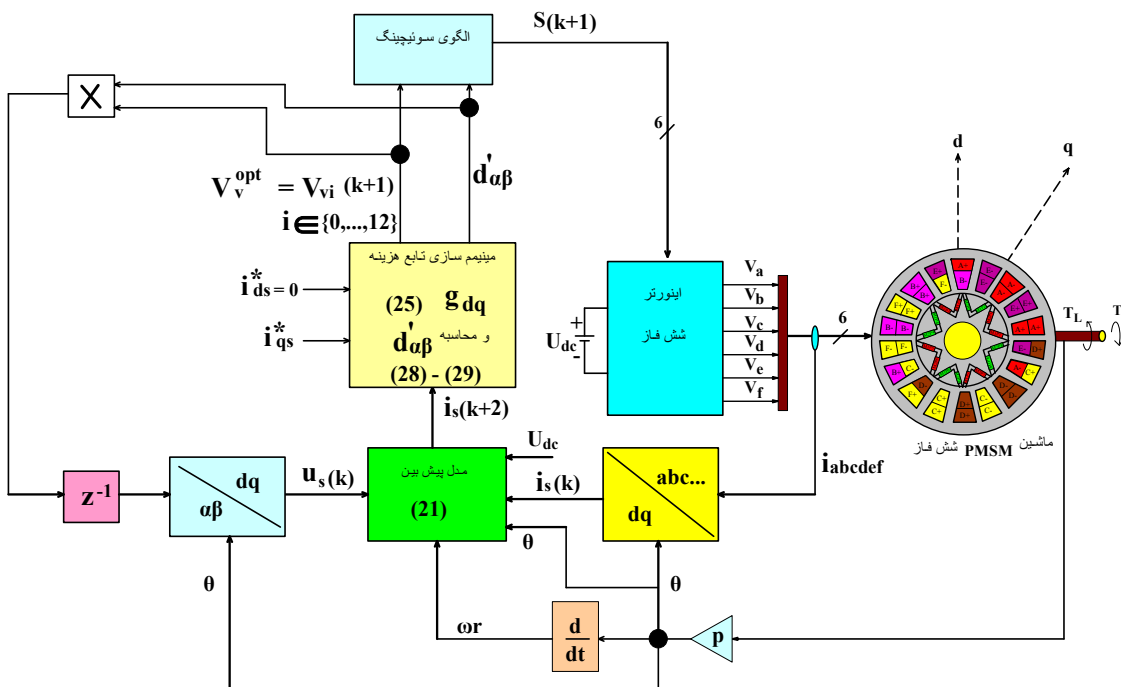
جريان‌های استاتور پیش‌بینی شده برای لحظه $k+2$ محاسبه شده و با استفاده از (۲۱) بردار مجازی $(v_{vi}, i \in \{1, \dots, 12\})$ با دامنه θ ثابت $U_{dc}^{opt} = 0.598 \times U_{dc}$ و بردار مجازی که (۲۵) را به حداقل می‌رساند به عنوان v_v^{opt} انتخاب می‌شوند. سپس دامنه v_v^{opt} با ترکیب آن با دو بردار صفر (v_{v1} و v_{v2}) در طول دوره نمونه‌برداری تنظیم می‌شود. چرخه کار بردار مجازی انتخاب شده با به حداقل رساندن به دست می‌آید

$$f_{dq} = (i_{ds}^* - (1 - d_{\alpha\beta})i_{ds}(k+2) - d_{\alpha\beta}i_{ds}(k+2))^r + (i_{qs}^* - (1 - d_{\alpha\beta})i_{qs}(k+2) - d_{\alpha\beta}i_{qs}(k+2))^r \quad (26)$$

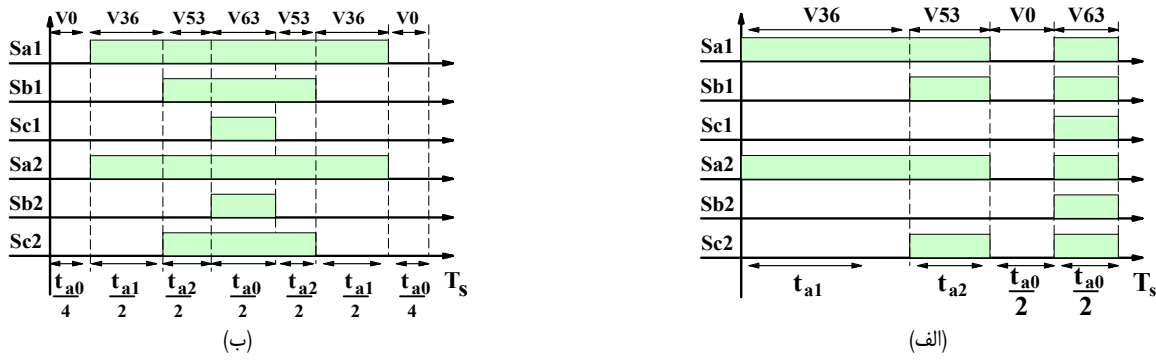
که در آن $\{i_{ds,.}(k+2), i_{qs,.}(k+2)\}$ مؤلفه‌های جریان پیش‌بینی شده به دلیل کاربرد بردار صفر در کل دوره نمونه‌برداری و $d - q = \{i_{ds}(k+2), i_{qs}(k+2)\}$ مؤلفه‌های جریان پیش‌بینی شده هستند که به دلیل کاربرد v_v^{opt} در کل دوره نمونه‌برداری می‌باشند. مقدار $d_{\alpha\beta}$ که (۲۶) را به حداقل می‌رساند با حل زیر به دست می‌آید

$$\frac{\partial f_{dq}}{\partial d_{\alpha\beta}} = . \quad (27)$$

$$d_{\alpha\beta} = \frac{e_{d,.}(e_{d,.} - e_d) + e_{q,.}(e_{q,.} - e_q)}{(e_{d,.} - e_d)^r + (e_{q,.} - e_q)^r} \quad (28)$$

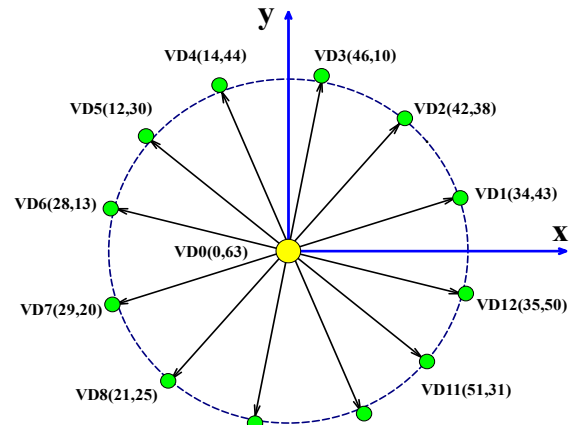


شکل ۷: دیاگرام روش .VPCC-OA

شکل ۸: الگوی کلیدزنی مورد استفاده برای ترکیب OA($d'_{\alpha\beta} = 0.7$) با (v_{v_i}) قبل از متumerکشدن و (b) بعد از متumerکشدن.

دلیل غیر خطی بودن مبدل‌های قدرت گردش کنند (مثلاً اثرات زمان مرده). عدم تقارن باقیمانده در ماشین و در مورد ماشین‌های سنکرون مغناطیس دائم هارمونیک‌ها به دلیل شکل غیرسینوسی مغناطیس‌ها (PMs) است. برای جبران این هارمونیک‌های جریان، یک راهبرد کنترل جدید مبتنی بر بردارهای مجازی (BS-VPCC) در اینجا برای ترکیب توانایی تنظیم مؤلفه‌های جریان $d-q$ و $x'-y'$ پیشنهاد شده است. از آنجا که تنظیم مؤلفه‌های جریان $x'-y'$ نیاز به استفاده از مؤلفه‌های ولتاژ غیر صفر $x-y$ دارد، مفهوم بردارهای مجازی دوگانه در اینجا معرفی می‌شود. بردار مجازی دوگانه با ترکیب یک بردار بزرگ و یک بردار متوسط-بزرگ با فاز مشابه در زیرفضای $x-y$ و با زمان کاربرد به ترتیب t_L و t_{ML} به دست می‌آید (شکل ۹؛ بنابراین مجموع ۱۲ بردار مجازی دوگانه ($v_{dvi}, i \in \{1, \dots, 12\}$) با دامنه U_{dc} در زیرفضای $x-y$ همان طور که در شکل ۹ نشان داده شده است، در دسترس هستند.

از آنجا که بردارهای مجازی دوگانه (شکل ۹) مؤلفه‌های ولتاژ غیر صفر $x-y$ و مؤلفه‌های ولتاژ صفر $\alpha-\beta$ تولید می‌کنند، این مؤلفه‌ها به تنهایی برای تنظیم جریان‌های $x'-y'$ به کار می‌روند؛ بدون اینکه باعث اختلال در تنظیم جریان‌های $d-q$ شوند. در مقابل، بردارهای مجازی (شکل ۴) مؤلفه‌های ولتاژ غیر صفر $\alpha-\beta$ و مؤلفه‌های ولتاژ صفر

شکل ۹: بردارهای مجازی دوگانه در زیرفضاهای $\alpha-\beta$ و $x-y$ (در قاب مرجع ساکن).

-روش PCC با زیرفضای دوگانه مبتنی بر بردارهای مجازی با دامنه بهینه

اگرچه استفاده از بردارهای مجازی، ولتاژهای $x-y$ هم می‌توانند در سیم‌پیچ‌های استاتور به

که (۳۱) برای $\{1, 2, \dots, j\} \in \{1, 2, \dots, 12\}$ ارزیابی می‌شود و v_{dv}^{opt} بردار مجازی دوگانه‌ای است که g_{xy} را به حداقل می‌رساند. همانند VPCC-OA، چرخه کار $d_{\alpha\beta}$ بردار v_v^{opt} با (۲۸) محاسبه می‌شود. به طور مشابه می‌توان چرخه کار بردار دوگانه v_{dv}^{opt} را محاسبه کرد

$$d_{xy} = \frac{e_{x.}(e_{x.} - e_x) + e_{y.}(e_{y.} - e_y)}{(e_{x.} - e_x)^T + (e_{y.} - e_y)^T} \quad (33)$$

که $e_{n.} = i_{ns}^* - i_{ns}(k+2)$ و $d_{xy} \in [0, 1]$ ، $e_{n.} = i_{ns}^* - i_{ns}(k+2)$ است. متغیرهای $n \in \{x', y'\}$ جریان‌های $i_{xs'}, i_{ys'}(k+2)$ بیش‌بینی شده ناشی از کاربرد بردار صفر و $x' - y'$ جریان‌های $i_{xs'}(k+2), i_{ys'}(k+2)$ بیش‌بینی شده با توجه به کاربرد v_{dv}^{opt} در طول یک دوره نمونه‌برداری کلی هستند. برای در نظر گرفتن محدودیت‌های ولتاژ مبدل‌های قدرت، چرخه‌های کاری $d_{\alpha\beta}$ و d_{xy} باید شرایط زیر را تأیید کنند

$$\cdot \leq d_{\alpha\beta} + d_{xy} \leq 1, \quad \cdot \leq d_{\alpha\beta} \leq 1, \quad \cdot \leq d_{xy} \leq 1 \quad (33)$$

از آنجا که کنترل جریان‌های $d-q$ -شار و گشتاور ماشین را تنظیم می‌کند، قبیود (۲۹) ابتدا برای به دست آوردن $d'_{\alpha\beta}$ ارزیابی می‌شوند و سپس قید زیر برای d_{xy} اعمال می‌شود

$$\begin{cases} d'_{xy} = 0, & d_{xy} < 0 \\ d'_{xy} = d_{xy}, & 0 \leq d_{xy} \leq 1 - d'_{\alpha\beta} \\ d'_{xy} = 1 - d'_{\alpha\beta}, & d'_{xy} > 1 - d'_{\alpha\beta} \end{cases} \quad (34)$$

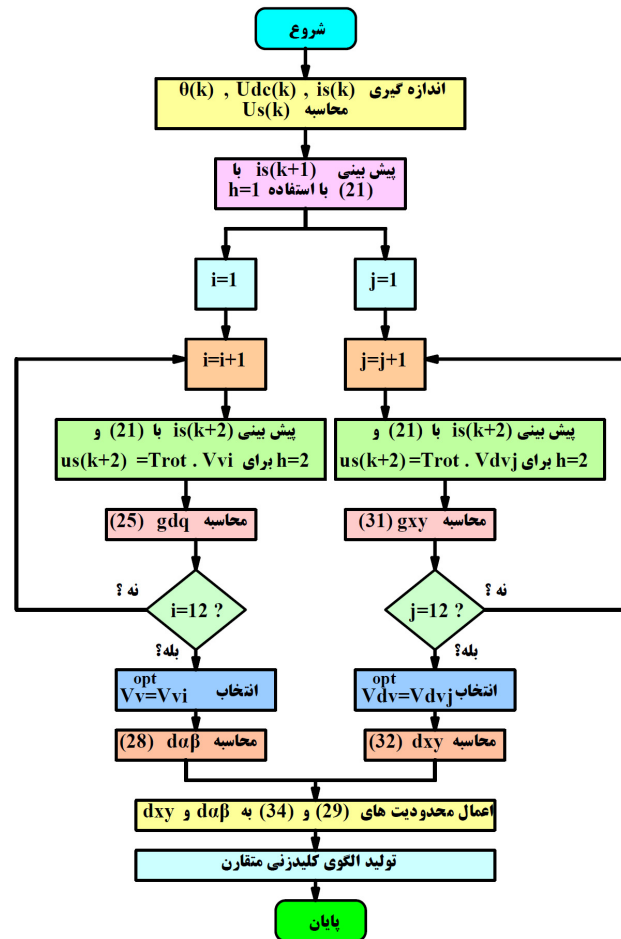
اگر PMSM در شرایط نامی و با $d'_{\alpha\beta}$ نزدیک به ۱ کار کند، d'_{xy} توسط (۳۴) محدود می‌شود و در نتیجه قابلیت جبران‌سازی هارمونیک‌های جریان $x'-y'$ را کاهش می‌دهد؛ همان‌طور که این سیستم باید با محدودیت‌های ولتاژ مبدل‌های قدرت مطابقت داشته باشد.

نهایتاً الگوی کلیدزنی مورد نیاز برای ترکیب بردارهای v_v^{opt} در طول $d'_{\alpha\beta} \times T_s$ و $v_{dv}^{opt} \times T_s$ تولید و به درایو اعمال می‌شود. به عنوان مثال، الگوی کلیدزنی مورد استفاده برای ترکیب $v_{v1}^{opt} = v_{v1}$ و $v_{v2}^{opt} = v_{v2}$ در شکل ۱۲-الف با $d'_{\alpha\beta} = 0.6$ و $d'_{xy} = 0.2$ که در آن $t = T_s(1 - d'_{\alpha\beta} - d'_{xy})$ ارائه شده است.

با این حال، پیاده‌سازی الگوی کلیدزنی شکل ۱۲-الف در یک کنترل‌کننده دیجیتال دشوار است و تعداد نامساوی کمotaسیون روشن/خاموش را در میان ساق‌های مختلف مبدل‌های قدرت نشان می‌دهد. از آنجا که ولتاژ متوسط ساق در یک دوره نمونه‌برداری تنها به چرخه کاری ساق بستگی دارد، الگوی کلیدزنی شکل ۱۲-الف را می‌توان در میانه دوره نمونه‌برداری مرکز کرد که در شکل ۱۲-ب نشان داده شده است. حفظ ولتاژ متوسط ساق بدون تغییر باقی می‌ماند. در مقایسه با شکل ۱۲-الف، الگوی کلیدزنی شکل ۱۲-ب نسبت به میانه دوره نمونه‌برداری متقارن است و در هر دوره نمونه‌برداری در هر ساق مبدل یک کمotaسیون روشن/خاموش ارائه می‌دهد که منجر به یک فرکانس کلیدزنی ثابت می‌شود؛ البته به شرطی که $d_{dq} + d'_{xy} < 1$ باشد.

۹- نتایج شبیه‌سازی

برای بررسی اثربخشی راهبرد کنترل پیشنهادی یا BSVPCC (S۴) در برابر سایر رقبا همچون PCC (S۱)، VPCC-OA (S۲) و (S۳)، نتایج شبیه‌سازی که با مدل سیمولینک Matlab به دست آمداند،



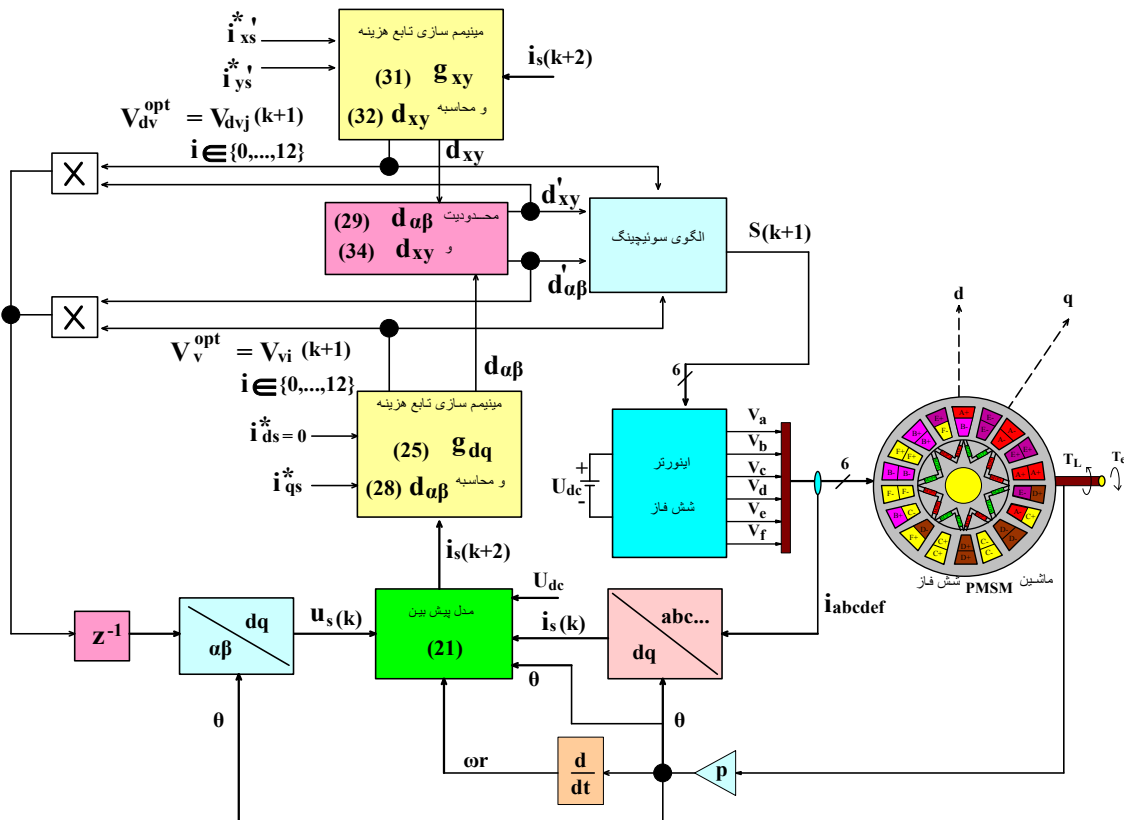
شکل ۱۰: فلوچارت راهبرد پیشنهادی BS-VPCC

$y-x$ را تولید می‌کنند. بنابراین آنها برای تنظیم جریان‌های $d-q$ استفاده می‌شوند. از این رو کنترل جریان‌های $d-q$ و $x'-y'$ توسط دو مرحله مستقل FCS-MPC انجام می‌شوند که در آن یک مرحله بردار مجازی بهینه را برای ردیابی جریان‌های مرجع $d-q$ انتخاب شده و مرحله دوم بردار مجازی دوگانه بهینه را برای ردیابی جریان‌های مرجع $d-q$ انتخاب می‌کند. برخلاف BS-VPCC و VPCC-OA، راهبرد پیشنهادی قادر به حداقل‌نمودن هارمونیک‌های جریان نگاشتشده در $x'-y'$ است (به دلیل غیرخطی بودن مبدل‌های قدرت، عدم تقارن ماشین و هارمونیک‌های Back-EMF): در نتیجه اعوجاج هارمونیکی جریان و تلفات مسی استاتور را کاهش می‌دهد. در عملکرد متعادل، مقادیر i_{xs}^* و i_{ys}^* به منظور به حداقل رساندن جریان‌های $x'-y'$ در صفر تنظیم می‌شوند؛ در حالی که در عملکرد نامتتعادل، مقدار i_{ys}^* با توجه به ضریب نامتتعادلی تعریف شده در (۲۰) تنظیم می‌شود.

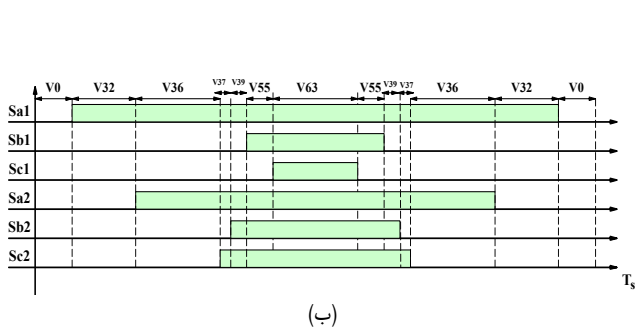
فلوچارت راهبرد پیشنهادی BS-VPCC در شکل ۱۰ و نمودار کلی راهبرد پیشنهادی در شکل ۱۱ آمده است. بعد از اندازه گیری (k) ، $\theta(k)$ و $U_{dc}(k)$ ، $i_s(k)$ و $i_{ds}(k)$ پیش‌بینی‌های راهبرد v_v^{opt} برای $i \in \{1, \dots, 12\}$ با $i_{xs}(k+2), i_{ys}(k+2)$ برای v_{dvj} با $i \in \{1, \dots, 12\}$ پیش‌بینی v_{dv}^{opt} بردار مجازی بهینه v_v^{opt} با استفاده از مینیمم‌سازی ضرب هزینه می‌شود. بردار مجازی بهینه v_v^{opt} با استفاده از مینیمم‌سازی ضرب هزینه (۲۵) انتخاب می‌شود.

برای انتخاب بردار مجازی دوگانه بهینه، یکتابع هزینه جدید به صورت زیر تعریف می‌شود

$$g_{dp} = (i_{xs}^* - i_{xs}(k+2))^2 + (i_{ys}^* - i_{ys}(k+2))^2 \quad (31)$$

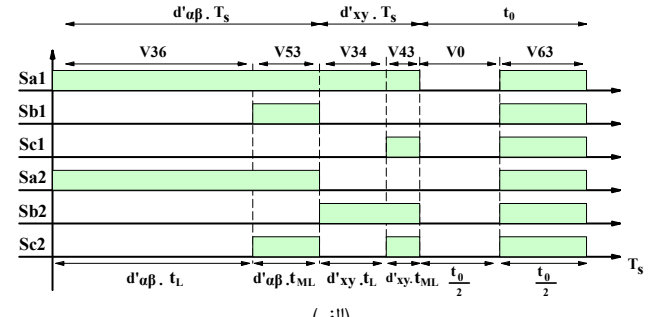


شکل ۱۱: دیاگرام الگوریتم پیشنهادی BS-VPCC



(ب)

شکل ۱۲: الگوی کلیدزنی مورد استفاده در ترکیب شش فاز (الف) قبل از مت مرکز شدن و (ب) بعد از مت مرکز شدن.



(الف)

برای راهبرد S1 به منظور کاهش ریل مشاهده شده در جریان های فاز و برای نشان دادن مزایای استفاده از بردارهای مجازی در یک T_s بالاتر در نظر گرفته و انتخاب می شود. ذکر این نکته ضروری است که راهبردهای نمونه برداری (دامنه بهینه) اعمال می کنند که متناسب به فرکانس کلیدزنی ثابت (10 kHz) می شود؛ در مقابل راهبردهای S_1 و S_2 دو بردار مجازی و یک بردار صفر را در هر دوره نمونه برداری (فاز بهینه) اعمال می کنند که متناسب به فرکانس کلیدزنی متغیر (6/17 kHz و 9/8 kHz) می شوند. همچنین استفاده از روش کنترل پیشنهادی که مبتنی بر جریان ضربان مرده است، مشکل عدم قطعیت پارامترها را حل می کند؛ این روش بر بهبود اثر شناسایی عدم تطابق اندوکتانس و عدم قطعیت مبدل مت مرکز است که تغییرات پارامترها در آن بسیار کنتر از فرکانس کلیدزنی است و مؤلفه های اغتشاش در محورهای $d - q$ را می توان بدون در نظر گرفتن عدم قطعیت به عنوان یک ثابت نیز در نظر گرفت. بنابراین منطقی است که بگوییم اعوجاج های جریان در محور $\alpha - \beta$ با روتور می چرخد که استفاده از مذکور میانگین مربعات در کمینه کردن این اعوجاجها بسیار کارآمد است.

جدول ۱: پارامترهای درایو شش فاز PMSM

پارامتر	مقدار	پارامتر	مقدار	پارامتر	مقدار
P_s (kw)	۴	L_{xy} (mH)	۲/۱	ϕ_v (deg)	-۱۲/۷
P_s (V)	۳۴۰	ψ_{s,PM_y} (mWb)	۹۸۰/۴	λ_{xy}	۰/۰۵
I_s (A)	۳/۶	ψ_{s,PM_d} (mWb)	۲/۴	T_s (μs)	۲۰۰، ۱۰۰
p	۲	ψ_{s,PM_y} (mWb)	۱/۶	U_{dc} (v)	۶۵۰
R_s (Ω)	۱/۵	ϕ (deg)	۰	T_d (μs)	۲/۲
L_{dq} (mH)	۵۳/۸	ϕ_d (deg)	۱/۳	-	-

ارائه شده است. پارامترهای درایو شش فاز PMSM و پارامترهای کنترل مربوط در جدول ۱ نشان داده شده اند که در آن $\{P_s, V_s, I_s\}$ توان نامی، ولتاژ نامی و جریان نامی PMSM و T_d زمان مرده سوئیچ های قدرت هستند. زمان نمونه برداری $T_s = 100 \mu s$ برای راهبرد (S1) PCC است؛ در حالی که $T_s = 200 \mu s$ برای راهبردهای دیگر استفاده شده است. راهبردهای S_1 و S_2 یک فرکانس کلیدزنی متغیر تولید می کنند؛ در حالی که راهبردهای S_1 و S_2 منجر به یک فرکانس کلیدزنی ثابت ۱۰ کیلوهرتز یا $f_{sw} = 1/T_s$ می شوند. زمان نمونه گیری پایین تر

جدول ۲: شاخص‌های عملکرد برای درایو PMSM در سرعت ۷۵۰ RPM و بار نامی (مد ژنراتوری) با $T_s = 100\mu s$

راهبرد	$E\{i_{ds}\}(\%)$	$E\{i_{qs}\}(\%)$	$E\{i_{xs}\}(\%)$	$E\{i_{ys}\}(\%)$	$THD_i(\%)$	$TWR_i(\%)$	$f_{sw}(\text{kHz})$
S1	۱,۸۸	۱,۷۹	۱۳,۰۷	۱۲,۹۸	۷,۰۲	۲,۱۵	۶/۱۷ فرکانس متغیر
S2	۱,۸۶	۲,۵۳	۱۶,۹۱	۱۲,۰۵	۲۱,۳۶	۳,۰۱	۹,۸ فرکانس متغیر
S3	۰,۸۲	۱,۵۱	۱۵,۵۸	۱۰,۸۹	۲۱,۱۴	۰,۵۸	۱۰ فرکانس ثابت
S4	۰,۸۷	۱,۵۸	۵,۲۴	۱/۷۷	۵,۲۷	۰,۵۶	۱۰ فرکانس ثابت

جدول ۳: شاخص‌های عملکرد برای درایو PMSM در سرعت ۱۵۰۰ RPM و بار نامی (مد ژنراتوری) با $T_s = 200\mu s$

راهبرد	$E\{i_{ds}\}(\%)$	$E\{i_{qs}\}(\%)$	$E\{i_{xs}\}(\%)$	$E\{i_{ys}\}(\%)$	$THD_i(\%)$	$TWR_i(\%)$	$f_{sw}(\text{kHz})$
S3	۱,۹۸	۰,۸۲	۹,۹۴	۴,۳۱	۸,۷۱	۰,۵۸	۵
S4	۱,۹۳	۰,۸۲	۷,۷۱	۳,۲۹	۳,۶۵	۰,۵۸	۵

نسبت به دو روش قبل کاهش چشمگیری داشته است.

راهبرد پیشنهادی (BS-VPCC) قادر به حداقل نمودن جریان‌های $x'-y'$ است و THD جریان از ۲۱,۱۴ به ۵,۲۷ درصد کاهش می‌یابد. خطاهای رديابی جریان مرجع در هر دو زیرفضای $d-q$ و $x'-y'$ کاهش می‌یابد و یک TWR_i پایین را در همه زمان‌ها به طور همزمان تضمین می‌کند (شکل ۱۴). نتایج شبیه‌سازی برای عملکرد حالت پایدار درایو PMSM شش فاز در ۱۵۰۰ rpm و بار نامی تحت راهبردهای (S_۳) و VPCC-OA (S_۴) در شکل ۱۵ نشان داده شده است.

علاوه بر این، چندین شاخص عملکرد در جدول ۳ و طیف جریان $i_{a,s}$ در شکل ۱۶ نشان داده شده است. در این شرایط، راهبرد پیشنهادی قادر به کاهش هارمونیک‌های مرتبه پایین جریان‌های $x'-y'$ شده و باعث کاهش THD جریان از ۸,۷۱٪ به ۳,۶۵٪ در عین حال حفظ ریپل گشتاور بسیار پایین می‌شود.

علاوه بر این از آنجا که راهبرد پیشنهادی، جریان‌های $x'-y'$ را تنظیم می‌کند، می‌تواند PMSM شش فاز را در شرایط نامتعادل یعنی با جریان/تون ااستاتور هر دو سری سیم‌پیچ‌های نایابر را اجرا کند. این عملکرد در شرایط نامتعادل در شکل ۱۷ نشان داده شده که در آن PMSM در ۱۵۰۰ rpm با بار نامی $i_{qs}^* = -2,4A$ با درجات مختلف نامتعادلی عمل می‌کند. در شکل ۱۷-الف، مقدار مرجع $i_{ys}^* = 2,4A$ است که متناظر با ضریب نامتعادلی $k=1$ و در شکل ۱۷-ب مقدار مرجع $i_{ys}^* = -2,4A$ است که با $k=-1$ متناظر است. در هر دو مورد یک مجموعه از سیم‌پیچ‌ها غیرفعال است؛ در حالی که دیگری در جریان نامی عمل می‌کند. مقدار میانگین گشتاور برای هر دو مورد یکسان باقی می‌ماند که کارایی راهبرد پیشنهادی در تنظیم نامتعادلی توان PMSM را اثبات می‌کند.

۱۰- نتیجه‌گیری

این مقاله یک راهبرد جدید BS-PCC را بر اساس بردارهای مجازی OA در هر دو زیرفضای $\alpha-\beta$ و $x-y$ برای شش فاز پیشنهاد می‌کند که قادر به تنظیم مؤثر مؤلفه‌های جریان $d-q$ و $x'-y'$ است. از آنجا که سایر راهبردهای کنترل پیش‌بین مبتنی بر بردارهای مجازی، جریان‌های $x'-y'$ را در حلقه باز ترک می‌کنند، هارمونیک‌های جریان با مرتبه پایین $x'-y'$ می‌توانند آزادانه در سیم‌پیچ‌های استاتور ماشین شش فاز گردش کنند. راهبرد پیشنهادی به شدت این هارمونیک‌های جریان $x'-y'$ و همچنین THD جریان و تلفات مسی در ماشین را کاهش می‌دهد. علاوه بر این، راهبرد پیشنهادی قادر است به طور مؤثر PMSM شش فاز را در حالت نامتعادل با توجه به

برای ارزیابی عملکرد درایو شش فاز PMSM با راهبردهای کنترل مختلف، اعوجاج هارمونیکی کل (THD) جریان با (۳۵) و ریپل شکل موج کلی (TWR) گشتاور با (۳۶) محاسبه می‌شود

$$THD_i = \frac{1}{\epsilon} \sum_{x=a,1s,\dots,c,2s} \frac{\sqrt{i_{x,1}^* + \dots + i_{x,5}^*}}{i_{x,1}} \times 100\% \quad (35)$$

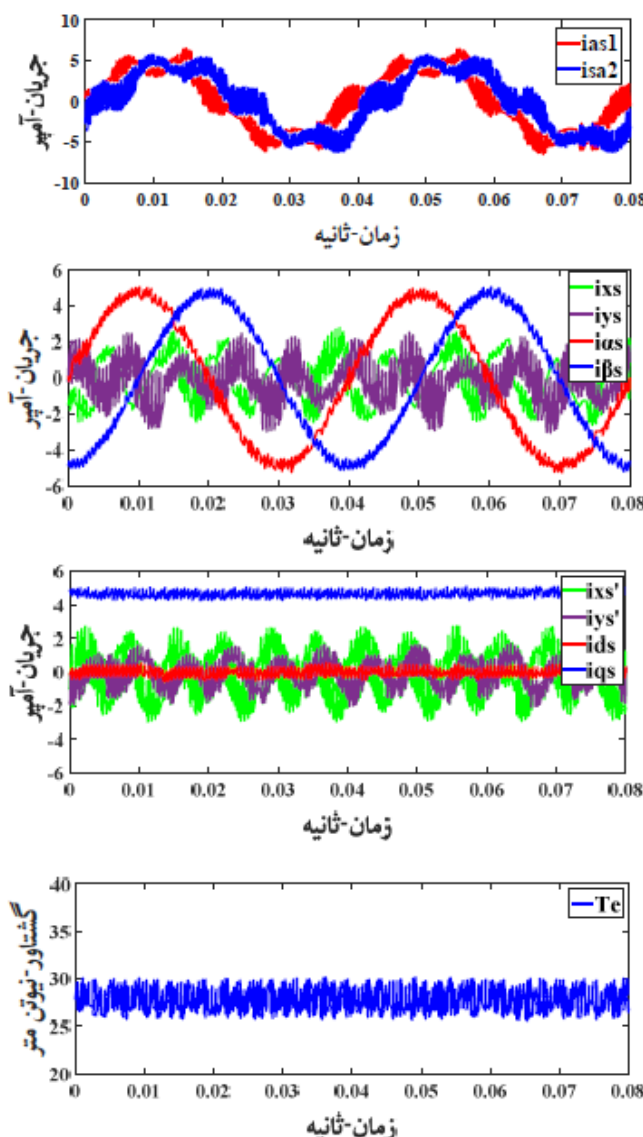
$$TWR_i = \frac{\sqrt{T_e^* - t_{e,avg}^*}}{|t_{e,avg}|} \times 100\% \quad (36)$$

که $i_{x,n}$ هارمونیک مرتبه n جریان فاز x با T_e ، $x \in \{a,1s,\dots,c,2s\}$ مقدار مؤثر گشتاور و $t_{e,avg}$ گشتاور متوسط است. خطاهای جریان متوسط به صورت زیر محاسبه می‌شوند

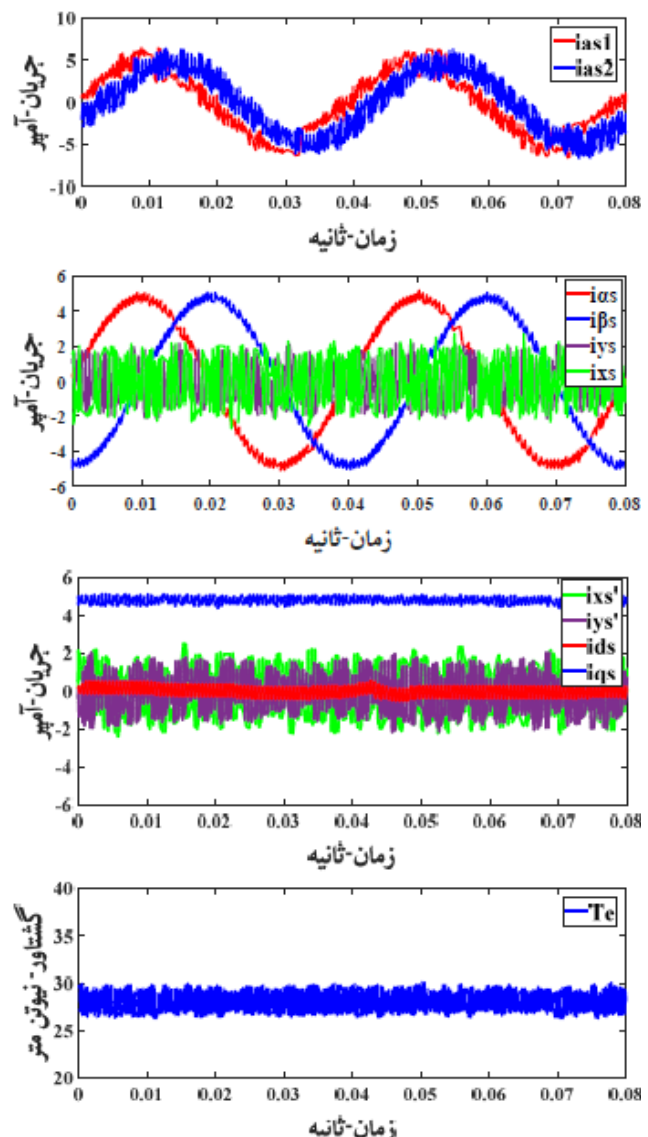
$$E\{i_x\} = \frac{\frac{1}{N} \sum_{n=1}^N |i_x^*(n) - i_x(n)|}{\sqrt{2} I_s} \times 100\% \quad (37)$$

که در آن $x \in \{a,1s,\dots,c,2s\}$ و N تعداد نمونه‌های متناظر با پنجره زمانی ۱۵ است. نتایج شبیه‌سازی برای عملکرد حالت پایدار درایو تحت راهبردهای کنترل (S_3-S_4) در شکل ۱۳ با شش فاز ارائه شده که در حالت موتوری در ۷۵۰ rpm و بار نامی ($i_{qs}^* = -4,8A$) عمل می‌کند. علاوه بر این، برخی شاخص‌های عملکرد در جدول ۲ آمداند و طیف فرکانس پایین $i_{a,s}$ در شکل ۱۴ برای راهبردهای S_3-S_4 نشان داده شده است.

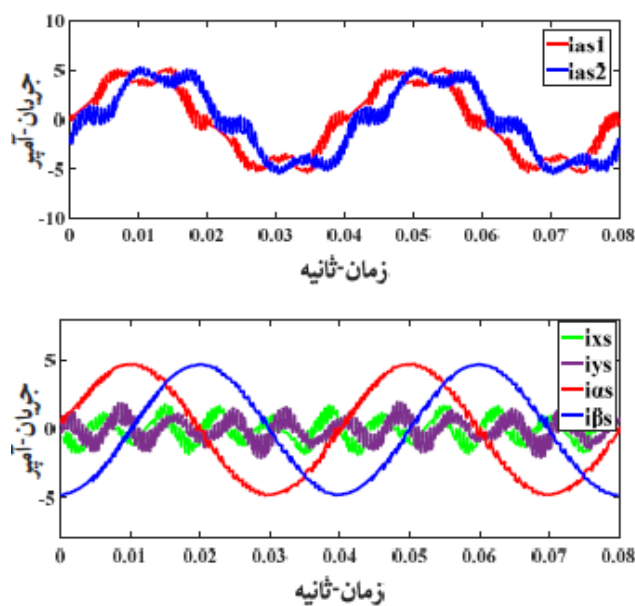
در شکل ۱۳ قابل مشاهده است که راهبرد VPCC، ریپل فرکانس بالا در جریان‌های $y-x$ در مقایسه با PCC را به دلیل استفاده از بردارهای مجازی کاهش می‌دهد. با این حال، TWR_i جریان از ۷۰,۲٪ به ۲۱,۳۶٪ کاهش می‌یابد، اما THD_i جریان همچنان بالا باقی ماند. از آنجا که هر دو راهبرد VPCC-OA و VPCC با گشتاور را کاهش می‌دهند، این نتایج تأثیر نمی‌گذارند. راهبرد بهینه‌سازی دامنه بردار مجازی اعمال شده از $0,1\%$ به $0,58\%$ کاهش می‌یابد، اما THD_i جریان همچنان بالا باقی ماند. از آنجا که هر دو راهبرد VPCC و VPCC-OA جریان‌های $x'-y'$ را در حلقه باز ترک می‌کنند، نمی‌توانند تنظیم شوند و منجر به افزایش اعوجاج هارمونیکی جریان می‌شوند. همچنین باید گفت که ریپل گشتاور در دو روش BS-VPCC و VPCC-OA به دلیل استفاده از بردارهایی با دامنه متغیر و فرکانس کلیدزنی ثابت که منجر به رديابی بهتر مقادیر مرجع می‌شود،



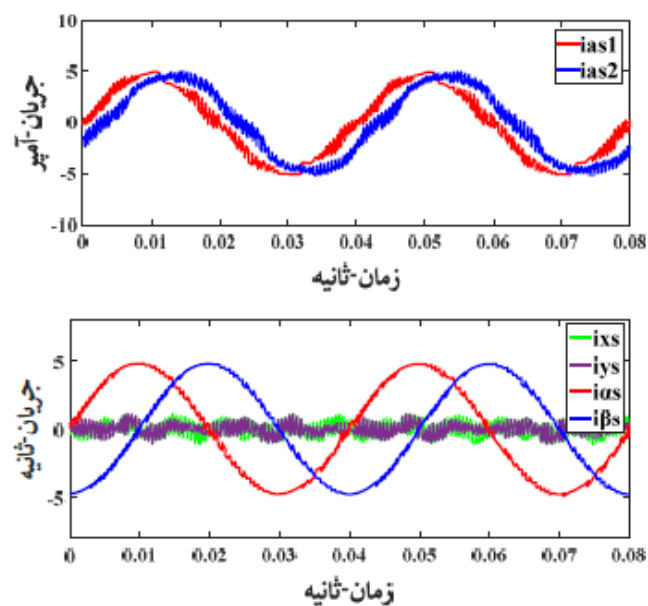
(ب)



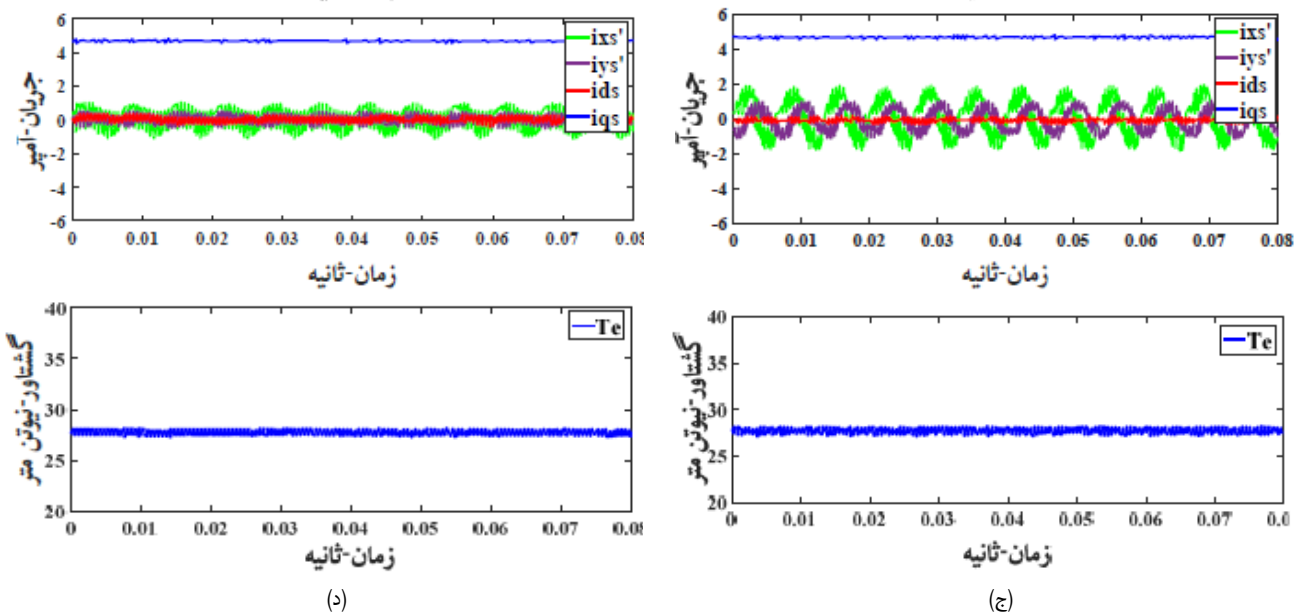
(الف)



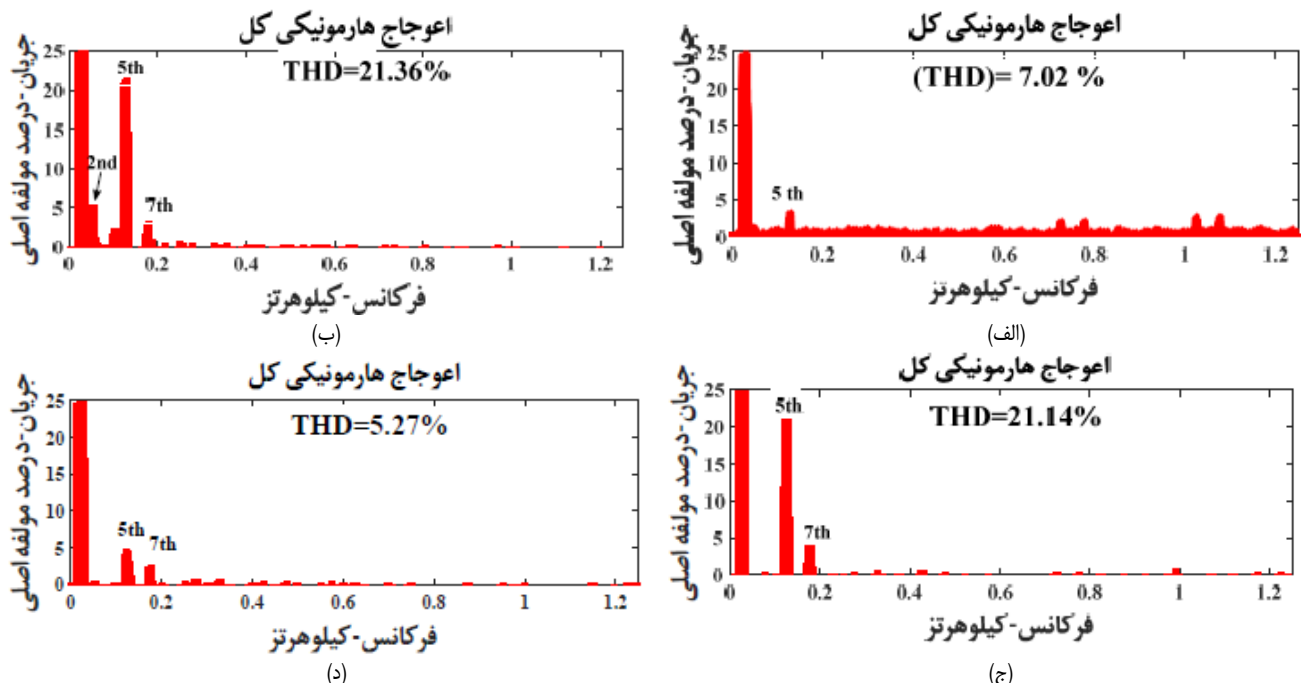
(ب)



(الف)



شکل ۱۳: نتایج شبیه‌سازی عملکرد درایو PMSM در 750 rpm و بار نامی (مد موتوری) برای (الف) VPCC-OA، (ب) VPCC، (c) PCC و (d) BS-VPCC روش پیشنهادی.



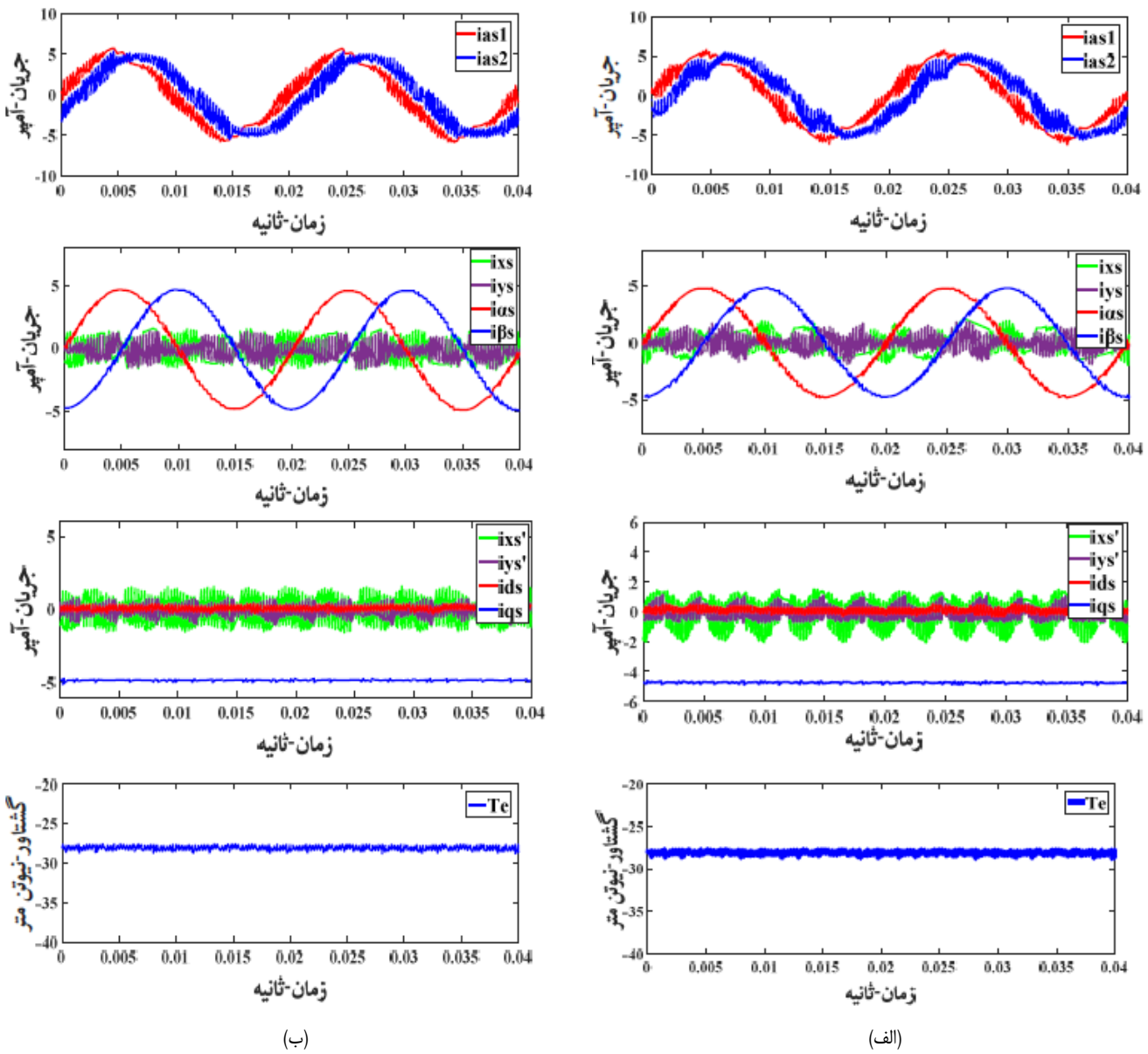
شکل ۱۴: طیف فرکانسی جریان فاز برای عملکرد درایو PMSM در 750 rpm و بار نامی (مد موتوری) برای (الف) VPCC-OA، (ب) VPCC، (c) PCC و (d) BS-VPCC روش پیشنهادی.

- [2] P. F. C. Gonçalves, S. M. A. Cruz, and A. M. S. Mendes, "Disturbance observer based predictive current control of six-phase permanent magnet synchronous machines for the mitigation of steady-state errors and current harmonics," *IEEE Trans. on Industrial Electronics*, vol. 69, no. 1, pp. 130-140, Jan. 2022.
- [3] P. Gonçalves, S. Cruz, and A. Mendes, "Fault-tolerant predictive current control of six-phase PMSMs with a single isolated neutral configuration," *Machines*, vol. 10, no. 12, Article ID: 1152, 2022.
- [4] J. Zhang and F. Yu, "A novel model predictive current control for asymmetrical six-phase PMSM drives with an optimum duty-cycle calculation scheme," *IEEE Access*, vol. 11, pp. 8096-8107, 2023.
- [5] S. He, Y. Li, Z. Shuai, Y. Zhang, J. Gai, and G. Zhou, "Virtual-vector-based FCS model predictive current control with duty cycle optimization for dual three-phase motors," *Journal of Physics: Conference Series*, vol. 1754, Article ID: 012083, 2021.
- [6] B. Lei, L. Wu, Z. Lin, and P. Mei, "Harmonic current suppression of dual three-phase PMSM based on model predictive direct torque control," *Mathematical Problems in Engineering*, vol. 2021, no. 1, Article ID: 3043673, 2021.

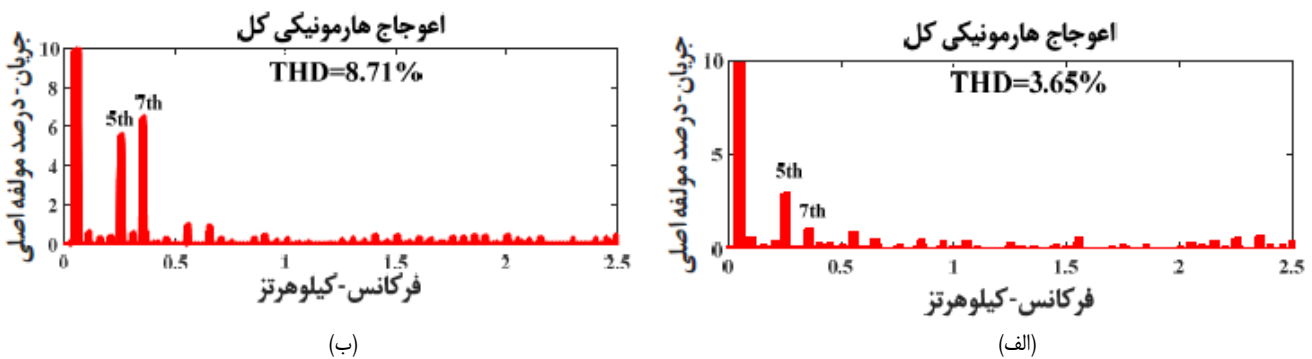
توانایی آن برای تنظیم مؤلفه‌های جریان x' - y' اجرا کند. همچنین می‌تواند برای کشف درجات آزادی اضافی ارائه شده توسط ماشین‌های شش فاز استفاده شود؛ مثلاً برای بهبود عملکرد خود تحت تحدی عملیات تولواس خطا یا برای افزایش گشتاور الکترومغناطیسی خود از طریق تزریق هارمونیک جریان. نتایج شبیه‌سازی نشان دهنده بهبود عملکرد درایو PMSM با راهبرد کنترل پیشنهادی در مقایسه با سایر راهبردهای کنترل پیش‌بین موجود در مقالات برای ماشین‌های شش فاز است.

مراجع

- [1] Y. Luo and C. Liu, "Elimination of harmonic currents using a reference voltage vector based-model predictive control for a six-phase PMSM motor," *IEEE Trans. on Power Electronics*, vol. 34, no. 7, pp. 6960-6972, Jul. 2019.



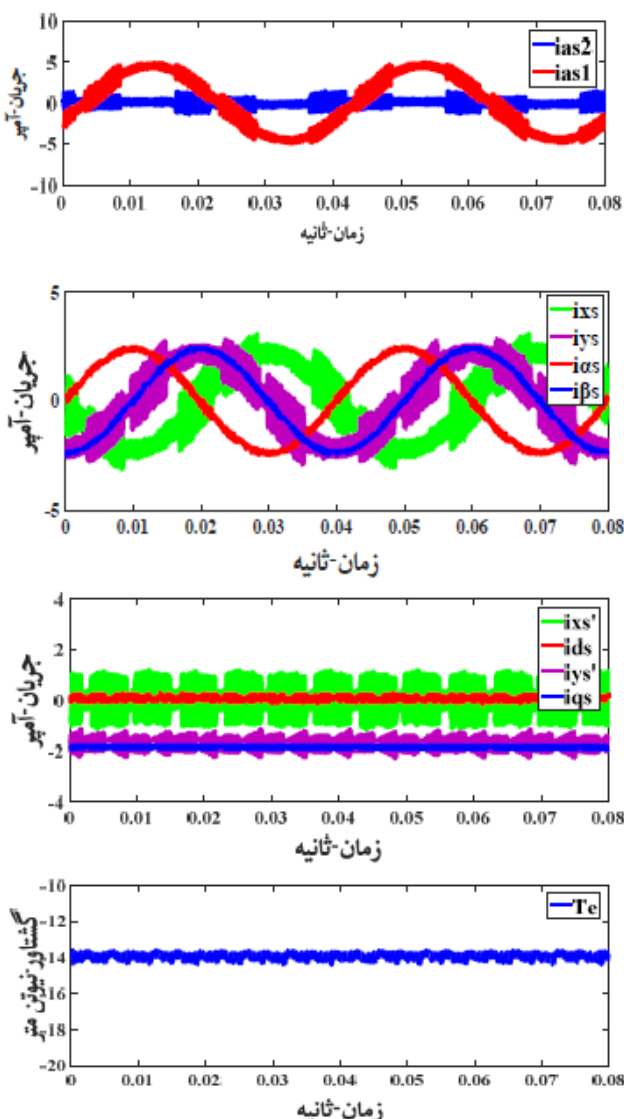
شکل ۱۵: نتایج شبیه‌سازی عملکرد درایو PMSM در ۱۵۰۰ rpm و بار نامی (مد ژنراتوری) برای (الف) VPCC-OA و (ب) BS-VPCC روش پیشنهادی.



شکل ۱۶: طیف فرکانسی جریان فار برای عملکرد درایو PMSM در ۱۵۰۰ rpm و بار نامی (مد ژنراتوری) برای (الف) VPCC-OA و (ب) BS-VPCC روش پیشنهادی.

- PMSMs with unaligned fault coil," *IEEE Trans. on Power Electronics*, vol. 39, no. 2, pp. 2721-2730, Feb. 2024.
- [10] P. P. Das, S. Satpathy, and S. Bhattacharya, "A voltage injection-based current harmonics suppression strategy for six-phase PMSM with nonsinusoidal back EMF," *IEEE J. of Emerging and Selected Topics in Industrial Electronics*, vol. 5, no. 1, pp. 285-297, Jan. 2024.
- [11] O. Gonzalez, et al., "Model predictive current control of six-phase induction motor drives using virtual vectors and space vector modulation," *IEEE Trans. on Power Electronics*, vol. 37, no. 7, pp. 7617-7628, Mar. 2022.

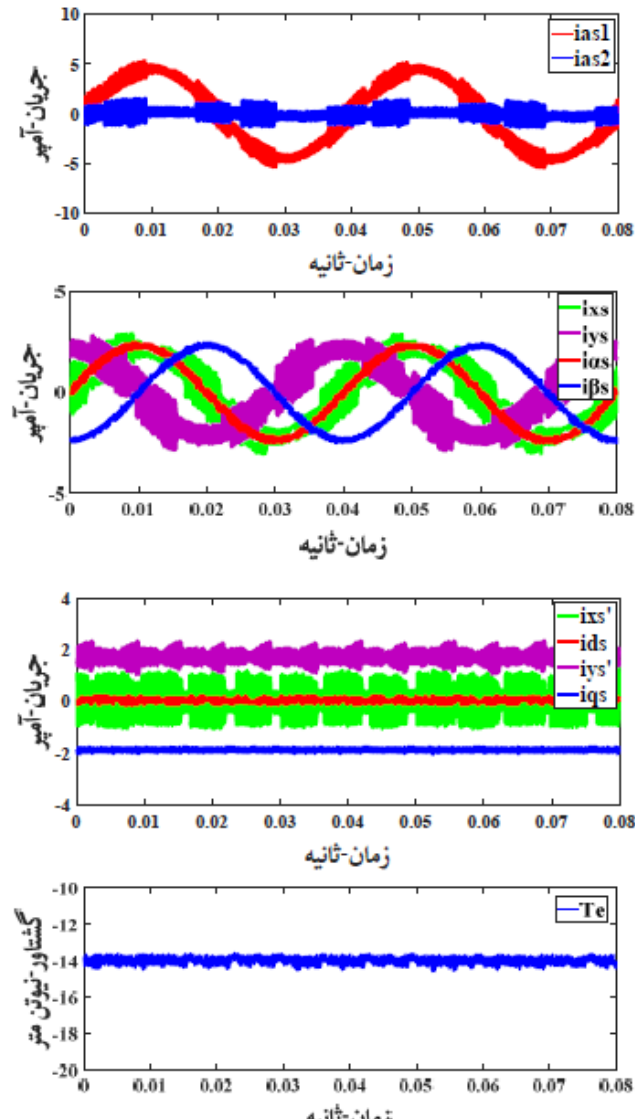
- [7] Y. Luo and C. Liu, "Multi-vector-based model predictive torque control for a six-phase PMSM motor with fixed switching frequency," *IEEE Trans. on Energy Conversion*, vol. 34, no. 3, pp. 1369-1379, Sept. 2019.
- [8] P. Gonçalves, S. Cruz, and A. Mendes, "Finite control set model predictive control of six-phase asymmetrical machines an overview," *Energies*, vol. 12, no. 4, pp. 4693-4703, Aug. 2019.
- [9] H. Wang, J. Hu, Y. Li, and Z. Wang, "Dynamic modeling for interturn short circuit faults in symmetrical six-phase FSCW-



(ب)

ضریب نامتعادل

ضریب نامتعادل



(الف)

- [19] R. T. Arumalla, S. Figarado, K. Panuganti, and N. Harischandrappa, "Selective lower order harmonic elimination in DC-AC converter using space vector approach," *IEEE Trans. on Circuits and Systems II: Express Briefs*, vol. 68, no. 8, pp. 2890-2894, Aug. 2021.
- [20] Z. Wang, Y. Wang, J. Chen, and Y. Hu, "Decoupled vector space decomposition based space vector modulation for dual three-phase three-level motor drives," *IEEE Trans. on Power Electronics*, vol. 33, no. 12, pp. 10683-10697, Dec. 2018.
- [21] D. Woldegiorgis and H. A. Mantooth, "A modified neutral-point voltage control strategy for three-level inverters based on decomposition of space vector diagram," *CES Trans. on Electrical Machines and Systems*, vol. 6, no. 2, pp. 124-134, Jun. 2022.
- [22] J. Xu, M. Odavic, Z. Q. Zhu, Z. Y. Wu, and N. Freire, "A novel space vector PWM technique with duty cycle optimization through zero vectors for dual three-phase PMSM," *IEEE Trans. on Energy Conversion*, vol. 37, no. 4, pp. 2271-2284, Dec. 2022.
- [23] W. Li, P. Song, Q. Li, Z. Li, and N. C. Kar, "Open-phase fault modeling for dual three-phase PMSM using vector space decomposition and negative sequence components," *IEEE Trans. on Magnetics*, vol. 58, no. 8, pp. 1-6, Aug. 2022.
- [24] D. Zhou, K. Luo, Z. Shen, and J. Zou, "Vector-space-decomposition-based power flow control of single-stage-multiport-inverter-fed PMSM drive for hybrid electric vehicles," *IEEE Trans. on Industrial Electronics*, vol. 71, no. 8, pp. 8514-8524, Aug. 2024.
- [25] R. Fu, "A simple and robust model predictive current control of PMSM using stator current predictor and target-oriented cost function," *IEEE Access*, vol. 10, pp. 100024-100032, 2022.
- [26] J. Gao, C. Gong, W. Li, and J. Liu, "Novel compensation strategy for calculation delay of finite control set model predictive current

- [12] H. W. Kim, M. J. Youn, K. Y. Cho, and H. S. Kim, "Nonlinearity estimation and compensation of PWM VSI for PMSM under resistance and flux linkage uncertainty," *IEEE Trans. on Control Systems Technology*, vol. 14, no. 4, pp. 589-601, Jul. 2006.
- [13] K. Zhang, M. Fan, Y. Yang, R. Chen, Z. Zhu, C. Garcia, and J. Rodriguez, "Tolerant sequential model predictive direct torque control of permanent magnet synchronous machine drives," *IEEE Trans. on Transportation Electrification*, vol. 6, no. 3, pp. 1167-1176, Sept. 2020.
- [14] Y. Luo and C. Liu, "A flux constrained predictive control for a six-phase PMSM motor with lower complexity," *IEEE Trans. on Industrial Electronics*, vol. 66, no. 7, pp. 5081-5093, Jul. 2019.
- [15] Y. Luo and C. Liu, "Model predictive control for a six-phase PMSM motor with a reduced-dimension cost function," *IEEE Trans. on Industrial Electronics*, vol. 67, no. 2, pp. 969-979, Feb. 2020.
- [16] Y. Wu, Z. Zhang, Q. Yang, W. Tian, P. Karamanakos, M. Lobo Heldwein, and R. Kennel, "A direct model predictive control strategy with an implicit modulator for six-phase PMSMs," *IEEE J. of Emerging and Selected Topics in Power Electronics*, vol. 11, no. 2, pp. 1291-1304, Apr. 2023.
- [17] J. Xu, M. Odavic, Z. Q. Zhu, Z. Y. Wu, and N. M. A. Freire, "Modulation restraint analysis of space vector PWM for dual three-phase machines under vector space decomposition," *IEEE Trans. on Power Electronics*, vol. 36, no. 12, pp. 14491-14507, Dec. 2021.
- [18] W. Liao, M. Lyu, S. Huang, Y. Wen, M. Li, and S. Huang, "An enhanced SVPWM strategy based on vector space decomposition for dual three-phase machines fed by two DC-source VSIs," *IEEE Trans. on Power Electronics*, vol. 36, no. 8, pp. 9312-9321, Aug. 2021.

سید قدرت‌الله سیف‌السادات مدرک دکتری در مهندسی برق را از دانشگاه علم و صنعت تهران دریافت نموده است. زمینه‌های علمی مورد علاقه نامبرده شامل موضوعاتی مانند ماشین‌های الکتریکی، کیفیت توان و الکترونیک قدرت می‌باشد.

محسن صنیعی در سال ۱۳۶۸ مدرک کارشناسی مهندسی برق قدرت را از دانشگاه فردوسی مشهد، در سال ۱۳۷۱ کارشناسی ارشد را از دانشگاه تربیت مدرس تهران و در سال ۱۳۸۳ مدرک دکتری در مهندسی برق را از دانشگاه استرالیا گلاسکوی انگلستان دریافت نموده است. زمینه‌های علمی مورد علاقه نامبرده متنوع بوده و شامل موضوعاتی مانند ماشین‌های الکتریکی، فناوری پیشرفته فشارقوی و دینامیک سیستم‌های قدرت می‌باشد.

سید سعیدالله مرتضوی در سال ۱۳۶۸ و ۱۳۷۱ به ترتیب مدرک کارشناسی و کارشناسی ارشد مهندسی برق قدرت را از دانشگاه فردوسی مشهد و در سال ۱۳۷۸ مدرک دکتری در مهندسی برق را از IIT دهلی دریافت نموده است. زمینه‌های علمی مورد علاقه وی شامل موضوعاتی همچون کنترل هوشمند و کنترل بهره‌برداری سیستم‌های قدرت است.

- control in PMSM," *IEEE Trans. on Industrial Electronics*, vol. 67, no. 7, pp. 5816-5819, Jul. 2020.
- [27] C. A. Agustin, J. T. Yu, Y. S. Cheng, C. K. Lin, and Y. W. Yi, "A synchronized current difference updating technique for model-free predictive current control of PMSM drives," *IEEE Access*, vol. 9, pp. 63306-63318, 2021.
 - [28] X. Li, W. Tian, X. Gao, Q. Yang, and R. Kennel, "A generalized observer-based robust predictive current control strategy for PMSM drive system," *IEEE Trans. on Industrial Electronics*, vol. 69, no. 2, pp. 1322-1332, Feb. 2022.
 - [29] T. Li, R. Ma, and W. Han, "Virtual-vector-based model predictive current control of five-phase PMSM with stator current and concentrated disturbance observer," *IEEE Access*, vol. 8, pp. 212635-212646, 2020.
 - [30] X. Li, Y. Wang, X. Guo, X. Cui, S. Zhang, and Y. Li, "An improved model-free current predictive control method for SPMSM drives," *IEEE Access*, vol. 9, pp. 134672-134681, 2021.

پیمان میرزاپور در سال ۱۳۸۹ مدرک کارشناسی مهندسی برق را از دانشگاه پیام گلپایگان و در سال ۱۴۰۰ کارشناسی ارشد را از دانشگاه لرستان دریافت نموده و هم‌اکنون دانشجوی استعداد درخشنان دکتری مهندسی برق در دانشگاه شهید چمران اهواز است. زمینه‌های علمی مورد علاقه نامبرده متنوع بوده و شامل موضوعاتی مانند درایوهای الکتریکی، الکترونیک قدرت و ماشین‌های الکتریکی می‌باشد.